

IEEE TRIPS ON ITEMORY, VOL.52, NO.4, 4月

20061289

# 圧縮センシング

David L. Donoho, *IEEE会員。* 

概要: (デジタル画像や信号) 中の未知のベクRでいであると仮定し、その一般的な線形関数を測定し、再構成することを計画している。既知の変換を用いた変換符号化により圧縮可能であることが知られており、ここで定義された非線形手順により再構成を行う場合、測定回数は.NETのサイズよりも動的に小さくずることが可能である。従って、ある種の自然な画素を持つ画像は、その画素の大きさに対して

具体的には、ある正規表現x(ウェーブレット、フーリエなど)またはタイトフレーム(カーブレット、ガボールなど)で疎な表現をしているとします。したがって、係数は、 $\ell_x$ のボールに属します。  $\ell_x$  .その中で最も重要な係数はの拡大により、誤差での再構成が可能で $\sigma_x$  . 書籍が関定の設計( $\log(z)$ )が可能である。  $m_x$  .

これにより、最も重要な係数を直接知っている場合と同程度の精度で再構成することができます。さらに、信号処理における線形プログラム(Basis

Pursuit)を解くことで、これらの重要な係数の良い近似値を 測定値から抽出することができる。非適応測定は、基底/フレーム要素の「ランダムな」線形結合の特徴を持つ。我々の結 果は、最適回復、-n

幅、情報ベースの複雑さの概念を用いている。高次元ユーク リッド空間におけるボールのGd'fy-<

widthsを以下のケースで推定する。 また、GeVf と -width に対して最適に近い部分空間を特定する基準を与える。そして、「ほとんどの」部分空間が最適に近いことを示し、凸最適化 (Basis

Pursuit) がこれらの最適に近い部分空間から情報を抽出する 最適に近い方法であることを示す。

### 索引用語-

適応的サンプリング、バナッハ空間のほぼ球形断面、基底追求、ランダム行列の固有値、ゲルファンド幅、情報に基づく複雑さ、統合されたセンシングと処理、最小、ノルム分解、最適回復、部分空間の商定理、線形方程式の疎な解法。

# I. イントロダクション

現代の技術主導型文明は、増え続けるデータを取 活用することで、「誰もが」、取得したデータのほ とんどが、ほとんど知覚的な損失なしに「捨てることが できる」ことを知っています-

音、画像、特殊技術データの非可逆圧縮形式が広く成功していることに照らしてみてください。ユビキタス圧縮という現象は、ごく自然な疑問を投げかける。「取得したデータのほとんどが捨てられてしまうのに、なぜわざわざすべてのデータを取得する必要があるのか?という疑問が生じる。

つまり、非可逆圧縮によって「捨てられてしまう」データの部分を取得しない。さらに、このプロトコルは非適応型で並列化可能であり、信号や画像に関する知識(データが圧縮可能であるという知識以外)を事前に取得する必要はなく、アクティブセンシング戦略や適応的センシング戦略を導くために基本的なオブジェクトに関するいかなる「理解」も必要としないのである。圧縮センシングプロトコルで行われる測定はホログラフィックであるため、単純なピクセルサンプルではなく、非線形に処理されなければならない。

この原理を応用すれば、測定時間の大幅な短縮、サンプリングレートの大幅な低下、アナログ/デジタル変換器のリソース使用量の削減が可能になるかもしれない。

### A.変換圧縮の背景

我々の扱いは抽象的かつ一般的であるが,信号・画像処理の多くの場面で成立することが知られている,ある特別な仮定に依存している:変換スパース性の原理である. 興味の対象はベクトル  $x \in \mathbb{R}^m$  であり、それはサンプルや「クセルを持つ信号や画像である。そして、 $\mathbb{R}^m$  のための正規直交基底  $1,\dots,m$ ) があるとする。これは、例えば、用途に応じて、正規ウェーブレット基底、フーリエ基底、または局所フーリエ基底であったりする。(後述するように、カーブレットやガボース(タ、ゆ) ムのようなタイトフレームへの拡張は無料である)  $0 < \mathbb{R}^m$  かる、ある $\mathbb{R}^n$  を持ち、これらは、 ある、ある $\mathbb{R}^n$ 

( ∑あ|&|<sup>p</sup> ある、ある、という意 味で、疎であることを仮定する

 $\|\theta\|_p \equiv \leq R. \tag{I.1}$ 

本論文では、*あたかも*直接データ取得が可能であるか のような圧縮データ取得プロトタイプを設計する。

2004年9月18日原稿受領、2005年12月15日改訂。

著者はStanford University, Stanford, CA 94305 USAのDepartment of Statisticsに所属している(e-mail: donoho@stanford.edu)。

Detection and Estimation誌のアソシエイトエディター、A. Høst-Madsen氏による通信。

デジタルオブジェクト識別子 10.1109/TIT.2006.871582

捨ててしまうのか?

このような制約は、信号や画像の自然なクラスでは実際に従う。これが、変換符号化に基づく標準的な圧縮ツールの成功の主な理由である[1]。アイデアを定着させるために、 $\ell_p$ 制約の2つの簡単な例を挙げる。

• 画像の境界変動モデル。ここで画像の明るさは 単位正方形上の基礎関数 f(x,y)  $\leq$  、  $\leq$  として捉えられ、(本質的に)以下のように従う

1/n 1/n のピクセルを平均化した f の  $n^2$ 

ピクセルのサンプルデータである。ここではウェーブレット法を用いて、データを様々なスケールからの寄与の集合体として捉える。ここで  $x^{(j)}$ はスケールiにおけるデータの成分を表し、スケール, $x^{(j)}$ におけるデータの成分を表し、スケール, $x^{(j)}$ におけるデータの成分を表し、スケール, $x^{(j)}$ におけるヴェーブレットの世規世交基底を表すとする 。

① 対応する係数は次のように 。  $\int_{0}^{1}\int_{0}^{1}|\nabla f|dxdy\leq R.$ 

0018-9448/\$20.00 © 2006 ieee

•  $x^{n} / y^{n}$  ここで、スペクトルのバンプ代数モデル。ここで、スペクトル(質量スペクトルや磁気共鳴スペクトルなど)は、実線上の基底関数( $f^{(i)} / y^{n}$ ))のデジタルサンプルとしてモデル化されており、これは、位置、振幅、線幅が異なるいわゆるスペクトル線の重ね合わせになっている。形式的には

$$f(t) = \sum_{i=1}^{\infty} a_i g((t - t_i)/s_i).$$

ここで、パラメ $\frac{a_i}{s_i}$ タ $t_i$ は線分  $\frac{a_i}{g}$  位置、振幅/極性、線幅 であり、線分形状、例えばガウ

シアンを表れますが、他のプロファイルを考慮する ことも可能です。  $\sum |a_i|$ 

という制約を仮定する。これは、アプリケーション では、エネル

ギーまたは全質量の制約を表す。再びウェーブレットの視点を取り、今回は特にスムースウェーブレットを使用する。データは様々なスケールからの分布の重ね合わせとして表すことができる。 $x^{(j)}$  は、スケールj におけるスペクトルの成分を表し、要素を含むス

におけるウェーブレットの直交基底を表すとする

。  $\psi_j^j$  対応する係数は、再び次のよ $\phi_j^j$  対応する係数は、再び次のようになります。

 $\|\theta^{(j)}\|_1 \le c \cdot R \cdot 2^{-j/2}, [2].$ 

この2つの例では、  $\ell_1$  制約が登場したが、他の  $\ell_p$  制約  $0 \le p < 1$  withcanも自然に登場する

;下記参照。読者によっては、 $\ell_p$  の規範を p < 1 は当初不思議に思われるかもしれませんが,現在では,このように小さい p

ノルムは、スパー放性の自然な数学的尺度であることが よく理解されています [3]

[4]. 以下に示すように、 よ り 多 く の ス パ ース性が 要求されるようになっている。また、この観点から、  $\ell_p$  に基づく制約は、スパース性を全く 必要としない。

なお、これらの例では、注目対象を ℓ₂の制約に従うサブバンドに分離することも許容している。実際には、以下では、関心対象は制約(I.1)に従う係数ベクトルであるという見力に固執する。これは、アプリケーションの観点から、我々の方法が、これらの例のように様々なサブバンドを別々に扱うことに対応することを意味するかもしれない。

$$\|\theta - \theta_N\|_2 \le \zeta_{2,p} \cdot \|\theta\|_p \cdot (N+1)^{1/2-1/p}$$
 (I.2)

は、これらの分野で行われている研究の総称として「O R/IBC」を使用しており、様々な学術的貢献について百 科事典的でないことは認めざるを得ません。

我々は、関心のある可能性のあるオブジェクトのクラスを持っており、  $:X\mapsto$  ,の情報の断度をサンプリングする情報演算子  $I_n R^n$  と ,の近似再構成を提供するアルゴリズム  $A_n$  を設計することに興味があります。 ここで、情報演算子は次のような形式をとります。

$$I_n(x) = (\langle \xi_1, x \rangle, \dots, \langle \xi_n, x \rangle)$$

ここで、  $\xi_i$  はサンプリングカーネルであり、必ずしもピクセルやその他の信号の単純な特徴をサンプリングしているわけではない。しかし、それらは非適応的であり、すなわち、. に依存せずに固定されている。アルゴリズム  $\Lambda_n$  は不特定多数の、場合によっては非線形再構成演算子である。

我々は再構成の  $\ell_2$  誤差と、最適情報と最適アルゴリズムの挙動に興味がある。したがって、最小限の  $\ell_2$  誤差を比較の基準として考える。

$$E_n(X) = \inf_{A_n, I_n} \sup_{x \in X} ||x - A_n(I_n(x))||_2.$$

つまり、ここでは、非適応的な線形サンプリングのすべての可能な方法が許容され、再構成のすべての可能な方法が許容されます。我々のアプリケーションでは、興味のあるオブジェクトのクラスは、x与えられた(I.1)に対して $x = \theta(x)$ 的従うオプジェクトのセットである.

 $p R \geq \frac{1}{2} \left( \frac{1}{2} \right)$ 

$$X_{p,m}(R) = \{x : ||\theta(x)||_p \le R\}.$$

私たちの目標は、それを

 $E_n(X_{p,m}(R))$  評価し、それに近い実用的な方式を持つことです。

### C.4つのサプライズ

ここで、本稿で注目する主な量的現象について説明する。

定理1: $(n, m_n)$ 

を、以下のような問題サイズのシーケンスとする。  $n < m_n \ n \to \infty$ そし  $m_n \sim An^\gamma, \ \gamma > 1 \ A > 0$  ... では  $0 とある <math>C_p = C_p(A,\gamma) > 0$  ように

$$E_n(X_{p,m}(R)) \le C_p \cdot R \cdot (n/\log(m_n))^{1/2-1/p}$$
. (I.3)

このことは、4つの点で驚くべきことである。まず、(I.3) と(I.2)を比較してみよう。較正の下で、両者は似たよう な形式であることがわかる。 DONOHOE編センシン 書い換えると、 次につN、 にっN、 にっN、 にっN、 にのみ依存する。したがって,たと $\mathcal A$ ば誤差を含んだ近似を行う場合,次のようになります.  $\epsilon^{(p-2)/2p}$ には、 N の最大の用語だけを残しておく必要があります。

# B.最適化回復/情報量に基づく複雑性の背景

このような問題は、*最適復元* [5] や*情報量に基づく複雑性*  $\theta$  [6] の名で、(他の $\phi$  **\***プの仮定について)議論されてきたものである。我々は x

次  $n = N \log(m_n)$ のような近似の品質です。 129 $\pm$  によって提供される  $I_n$  非適応な情報  $N \log(m)$  を 利用することで、最大の変換

係数を用いて得ることができる.n驚くべきは、この近似において、どの変換係数が重要であるか事前に知ることができないことです。しかし、最適な情報演算子  $I_n$  は非適応的で、特定のオブジェクトではなく、せいぜい

 $X_{p,m}(R)$  クラスに依存する程度です。 ある意味で、この非適応な情報は、最適な変換係数を知っているのM同じくらい強力です。

このことは、 対象物に対して変換表現が最適で  $x \in X_{p,m}(R)$  あり

,他のどの表現も少数の係数によって 特徴付けることができないことに注目すると,さらに驚 くべきことに思える[3],

> [7]. 確かに,この場合,最適な情報量を 支えるサンプリング カーネルは

演算子は、単に個々の変換係数を測定しているに過ぎないのでしょうか?実は、そうではありません。情報演算子は、ある意味で、すべての係数を大きなスープに混ぜ合わせたような、非常に複雑な「ホログラフィック」関数を測定しているのです。次の(VI.1)を見てください。(オーグラフィーは13次元(3-

- D) イメージが干渉法によって2次元(2-
- D)変換を生成するプロセスである。2次元変換領域内の各値は、3次元物体全体の各部の影響を受けている。この2次元変換領域のすべて、あるいは一部から、3次元物体を干渉法で再構成することができます。2次元/3次元と干渉測定の詳細はさておき、ここでは、物体が圧縮領域に変換され、圧縮領域の各要素が元の物体のすべての部分の組み合わせであるというアナロジーを感じることができる)。

もう一つの驚きは、情報演算子の種類を増やして、適応的な演算子、例えば、ある測定が以前の測定で対応して行われる演算子を認めると、ほとんどうまくいかないということである。適応的な情報演算子の下での最小誤差を定義する $E_n^{\Lambda dapt}$ 適応的な演算子を許すと

$$I_n^A = (\langle \xi_1, x \rangle, \langle \xi_{2,x}, x \rangle, \dots \langle \xi_{n,x}, x \rangle)$$

ここで、各カーネル $\xi_{ir}$ は、前のステージ< iで

 $i \geq 2$ 収集された情報に依存することが許されている。  $\langle \xi_{j,x},x \rangle$  1 < i正式な設定

$$E_n^{\mathrm{Adapt}}(X) = \inf_{A_n, I_n^A} \sup_{x \in X} \left\| x - A_n \left( I_n^A(x) \right) \right\|_2$$

があります。

定理2: 0 に対して、 <math>> 0  $C_p$  、以下のようになる。 R > 0

$$E_n(X_{p,m}(R)) \le 2^{1/p} \cdot E_n^{\text{Adapt}}(X_{p,m}(R)).$$

適応的な手法は、「大きな係数」を繰り返し「局在化」 し、「接近化」することができるはずだというごく自然 な期待にもかかわらず、適応的な情報はほとんど役に立 ちません。

さらに驚きなのは、すでに興味深い事例としてp=1定理1と2は、OR/IBCと近似理論の既知の結果から容易に導出可能である1しかし、導出は間接的である。したがって、著者にとってかなり重要な意味を持つと思われるが、現時点では、優れた非適応型情報演算子やそれに適合する具体的なアルゴリズムについてはほとんど知られていないようである。

本論文の目的は、圧縮性の高い物体の場合 <br/>
をカバーの水の直接的な議論を行い、最適に近い情報演算子に関するディレクト情報を与え、この最適に近い情報を<br/>
利用するための具体的で計算量の多いアルゴリズムについて述べることである。

# D. ジオメトリと幅

私たちの観点からは、The-olem 1で説明した現象は、高次元の凸と非凸の "ボール

"の幾何学に関係しています。この関係を見るには、この クラスが直交変換の下で

なります。これが凸で原点に対して対称であり、軸 に対して直交対称である 場合

1293

はウェーブレット基底によって提供される。もし、これが再び原点について対称で直交対称であり、凸にはならないが、それでも星型である。

この幾何学的な視点をさらに発展させるために、-widthの2つの概念を考える; [5]を参照。

定義 1.1:  $\ell_2^m$  ノルムに関する **Gel'fand -width** は次のように定義されます。

の-次元線形部分空間上で無限大となる。

であり、 $V_n^{\perp}$  は標準ユークリッド内積に関する  $V_n$  の直交補語を表す。

つまり、"トラッピング

"が成立するような部分空間を探すのです。 が小さくなってしまいます。私たちの興味は、Gel'fand -は、非適応情報の最適回復とそのような-幅の間の等価性から導き出される。

*定理3:*<および

を

(I.6)

したがって、Gel'fand

widthは、最適な情報量と全く同じか、ほぼ同じになる。最終的には、(I.3)の不特定定数係数のおかげで、定数  $2^{1/p-1}$  の括弧書きは、私たちにとって等号と同じくらい良いものになるでしょう。私たちは通常、最適に近い性能、つまり定数ファクターの範囲内で  $E_n$  を得ることにしか興味がないでしょう。

Gel'fand

widthが直接研究されることは比較的まれであり [8]、Kolmogorov

widthに関する結果を見るのが一般的である。

定義1.2:  $\mathbf{R}^{m}$ 

を有界集合とする。 のコルモゴロフ幅は、 $\ell_2$ 

ノルムに関して、次のように定義される。

ここで、極小値は  $\mathbf{R}^m$  の -dimensional 線形部分空間にわたっている。

つまり、  $d_n$  は、-次元部分空間による可能な近似の品質を測定するも のである。 $V_n$ 。

この場合、Kolmogorov 幅と Gel'fand 幅の間には重要な双対関係があり、  $d_n$  に関する公表された結果から、その特性を推測することができる。それを述べるために、  $\ell_2$  ノルムではなく、近似に基づいて、明白な方法で定義される ようにしますまた、与えられた

とし、 標準的な双対指標である ,.また、  $b_{p,m}$ 

.の標準単位球とすると、[8]。

特に

$$d_n(b_{2,m}; \ell_{\infty}) = \mathcal{P}_0(b_{1,m}^1, \ell_2).$$

n

$$n$$
  $X$ 

$$d^{n}(X; \ell_{2}) = \inf_{V} \sup_{\Omega} \left\{ \|x\|_{2} : x \in V_{n}^{\perp} \cap X \right\}$$

 $R^m$ 

 $x \in X$ 

x

 $n_{-}$ 

$$p = 1 \qquad \qquad 0 0$$

$$d^{n}(X_{p,m}(R)) \leq E_{n}(X_{p,m}(R))$$
  
 
$$\leq 2^{1/p-1} \cdot d^{n}(X_{p,m}(R)).$$

n

92

n

$$\begin{matrix} X \subset \\ n \end{matrix}$$

$$d_n(X; \ell_2) = \inf_{V_n} \sup_{p \in X} \inf_{y \in V_n} ||x - y||_2$$

X

p = 1

n

$$d^n \begin{pmatrix} d^n \\ d^n(X,\ell_q) \\ \ell_q \\ q \geq 1 \quad p' \quad q' \\ 1 - 1/p \quad 1/q' = 1 - 1/q \end{pmatrix}$$

$$p \geq 1 \quad 1/p' = 1$$

$$d_n(b_{p,m}; \ell_q) = d^n(b_{q',m}, \ell_{p'})$$
.

左辺の漸近的な性質はGarnaev and Gluskin [9]によって定義されているP これは、Kashin [10] がソボレフ空間の Kolmogorov -width を決定する過程で、この結果の少し弱いバー $\mathcal{P}$ ョンを開発した主要な仕事に続くものである。詳しくは原著論文、あるいはPinkusの著書[8]を参照されたい。

*定理4:* (**カシン、ガルナエフ、グルスキン**(KGG)すべでの、後とで

$$d_n(b_{2,m}, \ell_\infty) \simeq (n/(1 + \log(m/n)))^{-1/2}.$$

定理1は、双対性の式(I.6)と同値の式(I.4)を用いて KGGを適用

0 場合分けして導かれるようになった。定理1の 場合な双対性が使えないので、全範囲

≤、この論文では別のアプローチをしています。

### E. ミステリーズ...

限界がある。 情報演算子の暗黙性は、再構成アルゴリズムの抽象性

情報演算子の暗黙性は、再構成アルゴリズムの抽象性と一致する。OR/IBC理論に基づくと、いわゆる 中心的アルゴリズムが最適であることがわかる。この「アルゴリズム」は、与えられた情報  $I_n(x_0)$ に対して、データ $y_n = x$ 

$$I_n^{-1}(y_n) = \{x : I_n^{p_n}(x) = y_n\}.$$

セットの中心を今定義する S

$$(S) = \inf_{c} \sup_{x \in S} ||x - c||_2,$$

中心的なアルゴリズムは

$$\hat{x}_n^* = \left( I_n^{-1}(y_n) \cap X_{p,m}(R) \right)$$

であり、情報 $I_n$ が最適であれば、それに従う。

$$\sup_{x_0 \in X_{p,m}(R)} \|x_0 - \hat{x}_n^*\|_2 = E_n(X_{p,m}(R));$$

は、後述の第III章をご参照ください。

この抽象的な視点は、残念ながら実用的なアプローチには結びつきません(少なくとも、この場合は $(R)_0$ 0  $)、セット<math>I_n^{-1}(y_n)$ は、 $X_{p,m}(R)$ の断面が $X_{p,m}(R)$ 

このセクションの中心を求めることは、標準的な扱いやすい計算問題にはならない。さらに、これは とがわかっていることを前提としているが、通常はそうではないだろう。

#### DONOHO圧縮センシング

### F. 結果

本論文では、主に2種類の結果を展開する。

- 近最適情報。Gelfと- widthsの 最適に近い部分空間の問題を直接考察し、そのヌルスペースが最適に近いことを意味する-by-行列の 3つの構造条件(CS1-CS3)を 導入、R<sup>m</sup> の-subspacesの大部分が最適に近いことを示し、ランダムサンプリングにより、圧倒的に高い確率で最適に近い情報操作子が得られることを示す。
- 最適に近いアルゴリズム我々は、単純な非線形再構築アルゴリズムについて研究している:単純に、測定値を満足することを条件として、係数の  $\ell_1$  ノルムを最小化する。これは信号処理の文献でBa sis

Pursuitという名前で研究されており、線形計画法に よって計算することができる。我々は、この方法が すべての

に対して、ほぼ最適な結果を与えることを示す。 つまり、最適に近い情報演算子の大量供給と、線形 計画法に基づく最適に近い再構成法を提供し、おそら く予想外に、非凸の

場合にも有効

### である

 $\ell_1$ 

どのような結果が得られるかを味わうために、特定の情報とアルゴリズムの組み合わせを考えてみましょう。

・ CS 情報。列をランダムにサンプリングして 生成されたanmatrix とし、異なる列は独立かつ同 ーに分布する (i.i.d.)  $S^{n-1}$ 上のランダムユニフォームとする。が大きい場合 、圧倒的な確率で、以下のセクションII-Aで詳細に説明するCS1-CS3の性質を持つ。この ような有利な抽選を行ったとする。基底ベクトル を第1列とする 基底行列とする。CS 情報演算子は その行列である。

minimization。CS情報から再構成するために、凸最 適化問題

会わせる  $I_n^{CS}(x)$ .

つまり  $\ell_1$  、  $\hat{x}_1$  の係数が最小で、情報量と一致するものを探す。 情報オペレータの品質を評価するために、  $I_s$  、以下を設定します。

アルゴリズムと情報の組み合わせの 品質を評価するために 、設定します。

定理5:,を、

とし

従う問題サイズのシーケンス

を、基礎パラメータとCS行列から派生した演算子の対応⁵ するシーケンスとする(以下のセクションⅡを参照)。 ここで

0 が <math>> 0 n 存在す

 $X_p$ えnnnm

 $_{n}E_{n}\left(I_{n}^{\mathrm{CS}},X_{p,m}(R)\right) \leq C \cdot E_{n}(X_{p,m}(R))$ 

 $\theta$ 

0

0

 $\Phi$   $n \times m$ 

 $n = \overline{\Phi}$ 

 $egin{array}{cccc} \Psi & m imes m \ i & i \ I_n^{ ext{CS}} & n imes m & \Phi \Psi^T \end{array}$ 

 $(L_1) \quad \min \|\Psi^T x\|_1 \qquad \qquad y_n =$ 

 $y_n$ 

 $E_n(I_n, X) \equiv \inf_{A_n} \sup_{x \in X} ||x - A_n(I_n(x))||_2.$   $(A_n, I_n)$ 

 $E_n(A_n, I_n, X) \equiv \sup_{x \in X} ||x - A_n(I_n(x))||_2.$   $n \quad m_n$   $n < m_n \sim An^{\gamma} \quad A > 0 \quad \gamma \ge 1$ 

 $\eta_i \qquad \rho \\
C = C(n_i(n_i), \rho, A, \gamma)$ 

R>0  $n>n_0$ に対して、。さらに、アルゴリズム  $A_{1,n}$  の 解ば**風**ぼ最適である。

$$E_n\left(A_{1,n}, I_n^{\text{CS}}, X_{p,m}(R)\right) \le C \cdot E_n(X_{p,m}(R))$$

 $\Psi$  R>0  $n>n_0$ ために、。 n m  $\Phi$  このように、木きな

に対して、**体**適に近い情報の簡単な記述と、扱いやすい 最適に近い再構成アルゴリズ**め**がある。

# G. 潜在的なアプリケーション

その意味を理解するために、まずスペルトルの $\operatorname{Bump}$  Al-  $n \qquad \ker(\Phi)$ 

gebraモデルを思い出してみよう。この文脈ではn 我々の結果は、The-olem  $n = O(m^{1/3}\log(m))$ 5の情報演算子に基づく分光器では、実際には、次のよ

うに取るだけでよいということになる。 の測定値を用いて、公称の測定値ではなく、そのような スペクトルの正確な**再構**成を得ることができます。ただ

し、その場合は非線形に処理しなければならない。

画像の境界変動モデルを思い出してください。このモデルでは、定理5と似たような結果として、最適に近い情報オペレータに基づく特殊な画像処理装置では、公称の測定値ではなく、ピクセルで画像を生催に再構成するための測定

値のみが

本当に必要であることが述べられています。

これらの結果の基礎となる計算を以下に示す。また、漫画のような画像(脳スキャンのような、ある種の単純な自然画像をモデルにしていると考えられる)では、-ピクセル画像の測定回数はわずか  $O(m^{1/4}\log^{5/2}(m))$ であることを示す結果もある。

# H. 内容

セクションIIでは、情報演算子の近最適化のための条件 CS1~CS3を紹介する。第III節では、抽象的な最適に近い アルゴリズムを考察し、定理1~3を証明する。第IV節で は、凸最適化問題を解くと、くのとき

 $(L_1)$  は、凸最適化問題を解くと、 $\leq \infty$ とき、  $\ell$  に最適アル

ゴリズムが得られることを示す。第 セクションVでは、弱い条件とタイトフレームへの即時 の拡張を指摘する。セクションVIでは、画像、信号、配 列処理における潜在的な意味を概説している。セクショ ンVIIでは、[11]の研究を基に、条件CS1~CS3が「ほと んどの」情報演算子で満たされることを示す。

最後に、セクションVIIIでは、2つのグループによる 進行中の研究(Gilbert ら [12]とCandès ら [13], [14])に注目する。これ*设*は-

width/OR/IBCの伝統に従って書かれていないが、(我々が説明するように)密接に関連した結果を暗示している

通常ヌルスペース。ある演算子に対する集合の幅をX定義する。

#### II. INFORMATION

以下のように構成された情報演算子を考える。直交行列の列を基底要素が、とし、以下に示す条件を

満たす特定のバイ行列を用いて、対応する情報演算子 $I_n$ を構成する。直交行列の選択によってすべてが決まるので、以下のように仮定する。

というのが、このセクションを通してのアイデンティティです。

Gel'fと-widthとmin-imax誤差の関係を考慮すると、-widthで作業しても良いだろう。としておく。

として

(II.1)

条件

つまり、

ヌルスペースで切り取られた部分 。 一般に、Gel'fand の半径である widthは、以下の選択によって得られる最小の値である

> は anmatrix \

が存在することを 示す

に 依存 し、比率は  $\log(m)/\log(n)$ .

# A. 条件CS1~CS3

以下、  $\{1, \dots, m\}$ で、 の示された列だけを選択して得られる副行列を表す。 の範囲とする. 最後に,  $oldsymbol{R}^n$ ;で示される ベクトル上の  $\ell_1$ ノルムを用いて, :上の商ノル

ムの族を考察する.

 $Q_{J^c}(v)\min \|\theta\|_{\ell_1(J^c)}$  会わせる

これらは、.NET

の列の指定された部分集合のみを用いた達成可能な最小  $O\ell_1$  -norm 表現を記述する。

厳密には正の

パラメータで

指標化されたanma

trix

 $, \leq \leq ,$ 

に課すべき3つの条件を定義する

 $CS1:\Phi_J$  の最小特異値は一様に超える。

CS2:

それぞれの部分空間におい

て、不等式

で統一しています

CS3:各副空間について

一様に $\rho n/\log(m)$ 。

CS1では、すべての列の小グループの間に、ある量 的な線形独立性が要求されます。CS2は、少なくとも $\ell_1$ のノルムの比較に関する限り、小さな列のグループの 線形結合は、ランダムノイズによく似たベクトルを与 えると述べています。これは、幾何学的な事実によっ て暗示されます。すべての  $V_J$ 

は、結果として生じる智部が実際に球形に近くなるよう に、 $\ell_1^m$  の球を切り裂きます。CS3 は、ある  $V_J$ のなでなり、当名山か作り対して、関連する魔子のかけは、ハ の単純な ノルムより劇的に小さくなることはない、と書っています  $ker(\Phi)$ 

を適切に選ぶと、これらの条件を満たむす行列は、大き な行列でも普遍的に存在することがわかる。もちろん、 任意の有限および

、すべての規範は等価であり、ほとんどすべての任意の 行列はか(単と非難とがをな): またが、非常に大きいを取 ることによって、これらの条件を三重に満たすことがで きます。 $_{\mathbf{0}}$ しかし、「非常に小さい」、「非常に大きい」 の定義が

$$C \qquad w(\Phi, b_{p,m}) \leq C \cdot d^n(b_{p,m})$$

 $J \subset$ 

Φ

$$\Phi$$
  $m{R}^n$   $\ell_1(J^c)$   $\{1,\ldots,m\}ackslash J$ 

 $\Phi_{J^c}\theta = v.$ 

Φ  $n \times m$  $\eta_i$  1 i 3

 $\eta_1 > 0$ 

 $|J| < \rho n / \log(m)$ 

 $\begin{aligned} \|v\|_1 &\geq \eta_2 \sqrt{n} \cdot \|v\|_2, \\ |J| &< \rho n/\log(m) \end{aligned}$  $\forall v \in V_I$ 

 $Q_{J^c}(v) \ge \eta_3 / \sqrt{\log(m/n)} \cdot ||v||_1,$  $v \in V_I$  この些細な議論を成立させるために、私たちはもっと深いことを主張する。我々は、より深い**真**理を**庄**張する: それは、m  $An^{\gamma}$   $\leq$  のandから独立したandを選択することが可能である。 集合を考える

$$\theta \qquad 0 = \Phi^{\theta - m \text{ terjhs} \to}_{\boldsymbol{S}^{n-1} \times \cdots \not \in \boldsymbol{S}^{n-1}} \qquad \qquad k =$$

単位元規化された列を持p $\underline{J}$ ででの行列の集合。 この集合に対して、自然一様尺度(各因子に一様な積の尺度 $S^{n-1}$ )で出現頻度を測定する。

第VII節でこのことを議論し、証明する。この証明により、条件を満たさない行列の割合が、.NETにおいて指数関数的に減少することが示される。

後の使用のために、定数と暗黙のうちな置いておき、単にCS行列、つまり、この定理で説明されるタイプのパラメータの値で与えられた条件を満たす行列、すなわち、上記の偏在性に依存せず、かりそれを許容する行列のことを言うことにする。

### B. CS行列の近最適化

次に、CS条件がCS行列によって誘導される幅の最適 に近い状態を意味することを示す。

定理7:  $(n, m_n)$   $n \to \infty$   $m_n \sim A \cdot n^{\gamma}$  and を持つ問題サイズの例をbetten する 。

の列を考える。

行列 $\Phi_{n,m_n}$ は CS1-CS3 の条件に従い、  $\eta_i$   $\rho \in (0,1]$ かつ正 n  $p \in (0,1]$ かつ正 で.から独立した行列です。このとき、それぞれについ て  $C = C(p,\eta_1,\eta_2,\eta_3,\rho,A,\gamma)$  ように  $n > n_0$ 

 $(p, \eta_1, \eta_2, \eta_3, p, \Pi, \gamma) \Leftrightarrow \gamma \subset \mathcal{W} > \mathcal{W}$ 

 $w(\Phi_{n,m_n}, b_{p,m_n}) \le C \cdot (n/\log(m/n))^{1/2-1/p}.$ 

証明する。最適化問題を考える。

 $(Q_p)$  sup  $\|\theta\|_2$  subject to  $\Phi\theta = 0 \|\theta\|_p$   $\leq 1$ .

我々の目標は、以下の値を束縛りることであ

る。

$$val(Q_p) \le C \cdot (n/\log(m/n))^{1/2-1/p}$$
.

深 の場合、  $\ell_1$  p < 1 近似のための同様の議論  $\leq$  は、以下のようになる。 (II.4)

$$\|\theta_{J^c}\|_1 \le \zeta_{1,p} \cdot (k+1)^{1-1/p}.$$

とように選ぶ 。 における $[\rho n/\log(m)]$ の最大値の添字を

表すと一般性を損なわずに、座標が エントリの中で最初に 来るように並べられ、  $[\theta_J, \theta_{J^c}]$ を分割 するとする. 明らかに

$$\frac{\|\theta_{J^c}\|_p \|\theta\|_p}{(\stackrel{-}{\square} \cdot \stackrel{-}{\square})}$$

となり、(I.2)からは

の各エントリが少なくとも 同じ大きさであるためです。 今すぐしたがって、

withでは、次のようになりま

す。

として

CS3を起動し、以下を得ること

ができます。

一方、 $V_J$  と $\rho n/\log(m)$ を使って

、 CS

2を起動し、次のようになります。

これらと上記を組み合わせることで

 $\zeta_{1,p}\rho^{1-1/p}/\eta_2\eta_3$  をとする。  $\rho n/\log(m)$  を思い出し CS1 を呼び出すと、次のようになります。

要するに $c_1/\eta_1$ 

で定理が導かれる。

### III. ALGORITHMS

情報演算子 $I_n$  が与えられたとき、我々は、Gel'f と width の推定値と品質的に互換性のある再構成を提供する再構

$$\|\theta_{J^c}\|_2 \le \zeta_{2,p} \cdot (k+1)^{1/2-1/p}.$$
 (II.3)

成アルゴリズム

を設計する必要がある。序文で述べたように、OR/IBCフ レームリーを何おける最適な方法は、いわかる由心アル  $\exists v = \Phi_{J^c} \theta_{J^c} \qquad v \in V_J \qquad |J| = k < \rho n / \log(m)$ リズムであるが、残念ながら、我々の設定においては、 一般的に効率的に計算可能で

はない。ここで、定理1を証明することができる別の抽 象的なアプローチについて説明する。

$$\begin{aligned} \|\theta_{J^c}\|_1 &\geq Q_{J^c}(-v) \geq \eta_3/\sqrt{\log(m/n)} \cdot \|v\|_1. \\ v &\in |J| = k < \end{aligned}$$

# A. 実現可能点法

OR/IBC

 $||v||_1 > \eta_2 \cdot \sqrt{n} \cdot ||v||_2$ . リテラルのもう一つの一般的な抽象的アルゴリズムに、

$$||v||_{2} \leq (\eta_{2}\eta_{3})^{-1} \cdot (\sqrt{\log(m/n)}/\sqrt{n}) \cdot ||\theta_{J^{c}}||_{1}$$

$$= (n/\log(m))^{1/2-1/\frac{1}{2}}J| = k <$$

いわゆる実行可能点法がある。これは、観測された情報 と制約に適合する*任意の*再構成を見つけることを単純に

 $\|\theta_J\|_2 < \|\Phi_J\theta_J\|_2/\eta_1 = \|v\|_2/\eta_1.$ 

目的とする。 co =

中央アルゴリズム◎場合と同様に、与えられた

$$\|\theta\|_{2} \leq \|\theta(\theta)\|_{2} + \|\theta_{J^{c}}\|_{2}$$

$$\leq c_{2} \quad (n/\log(m))^{1/2 - 1/p}$$

$$C = \left(\zeta_{1,p}\rho^{1-1/p} / (\frac{(\rho n/\log(m))^{1/2-1/p}}{\eta_1 \eta_2 \eta_3) + \zeta_{2,p}\rho^{1/2-1/p}}\right). \qquad \Box$$
情報に対して、

すべてのオブジェクトのコレク

ションを考える

 $X_{p,m}(R)$ 情報の原因となり得るもの

 $y_n$ 

 $x \in$ 

$$\hat{X}_{p,R}(y_n) = \{x : y_n = I_n(x), \quad x \in X_{p,m}(R)\}.$$

実現可能点法では、単純に

 $\hat{X}_{p,R}(y_n)$ を、どのような手段であれ15], [6],

[8]における標準的なOR/IBCの議論を適応して、次のよう に示すことができる。

 $\nu \nu \forall 3.1_o \ I_n(x_0) \geq c c$  $x_0 \in X_{p,m}(R) I_n$ は最適情報演算子であり、

beの任意の要素である。

 $\hat{X}_{p,R}(y_n)$ .  $\forall t \leq 0$ 

$$||x_0 - \hat{x}||_2 \le 2 \cdot E_n(X_{p,m}(R)).$$
 (III.1)

つまり、どのような実現可能な点でも、最適値からファ クター2の範囲内にあるのだ。

証明する。まず、中心アルゴリズムの最適性につい ての主張を正当化し、次に実行可能な点が中心アルゴリ ズムに近いことを示す。ここで再び を中心アルゴリズムの結果とする。ここで

ここで、明らかに、  $x_0$ 

 $X_{p,m}(R)$   $y_n = I_n(x_0)$  andにあることだけが分かって いる特別な場合、測定されるとき、最小誤差は この誤差を実現しているため

 $y_n$ ような各中央アルゴリ x

ズムによって、すべての誤差を最小にすることができ ます。この最小誤差は

 $\sup\{ \ni \wp(\hat{X}_{p,R}(y_n)) : y_n \in I_n(X_{p,m}(R)) \} = E_n(X_{p,m}(R)).$ 

 $\hat{x} \in X_{p,m}(R)$ 従います。 今、実現可能な点は

$$\|\hat{x} - \hat{x}_n^*(y_n)\| \le \exists \ \forall \ \forall \hat{X}_{p,R}(y_n).$$

しかし、三角形の不等式から

$$||x_0 - \hat{x}||_2 \le ||x_0 - \hat{x}_n^*(y_n)||_2 + ||\hat{x}_n^*(y_n) - \hat{x}||_2$$

それ故に $x_0 \in \hat{X}_{p,R}(y_n)$ 

$$||x_0 - \hat{x}||_2 \le 2 \cdot \exists \ \forall \& \hat{X}_{p,R}(y_n))$$

$$\le 2 \cdot \sup\{\exists \ \forall \dot{X}_{p,R}(y_n)\}$$

$$: y_n \in I_n(X_{p,m}(R))\}$$

$$= 2 \cdot E_n(X_{p,m}(R)).$$

より一般的には、情報演算子 $I_n$ が最適に近いものでしかない場合、同じ論法で次のよう になる。

$$||x_0 - \hat{x}||_2 \le 2 \cdot E_n(I_n, X_{p,m}(R)).$$
 (III.2)

$$y_n = I_n(x_0)$$
  $x_0 \in X_{p,m}(R)$   $0 所与配  $0$$ 

$$||x_0 - \hat{x}_{p,n}||_2 \le 2 \cdot E_n(X_{p,m}(R)).$$

# B. 定理3の証明

先に進む前に、定理3を証明するのが便利である。な  $\geq p$  なOR/IBCでよく知られているので、その 場合の議論をするだけでよい

(ただし、我々の議論が

forasでも有効であることは偶然である)

。を適用することがポイントになる。 p-さんかくふとうしき

$$\|\theta + \theta'\|_p^p \le \|\theta\|_p^p + \|\theta'\|_p^p$$

に対して有効である。

0 この不等式は Peetre の仕事を通じて補間理論Sparr [17] でよく知られており、直接検証することは容易である。 一般性を損なうことなく、最適な部分空間

があるとする。これは固定されており、この証明で与え られる。先ほど見たように

$$E_n(X_{p,m}(R)) = \sup\{ \stackrel{\ni \circ \circ \circ}{(X_{p,R}(y_n))} : y_n \in I_n(X_{p,m}(R)) \}.$$
現在

$$d^n(X_{p,m}(R)) = \exists \, \mathcal{D} \, \dot{\mathcal{D}}(\hat{X}_{p,R}(0))$$

であるから、明らかに $E_n$ >

。ここで,一般性を損なうことなく,

andati半径境界を満たす、すなわち、以下の条  $x_+$  件を満たすと仮定する.  $I_n(x_{\pm}) =$  $y_n$  を満た  $k \in \mathcal{N}$ つ、(意図的層)

$$E_n(X_{p,m}(R)) = ||x_+ - c||_2 = ||x_- - c||_2.$$

次に、 $x_-$ )/ $\mathbf{2}^{1/2}$  を定義します。  $\theta_{\pm} = \Psi^T x_{\pm}$  セット  $\Psi^T \delta$ . 三角形の不等式により

$$\|\theta_+ - \theta_-\|_p^p \le \|\theta_+\|_p^p + \|\theta_-\|_p^p$$

であるからして

$$\|\xi\|_p = \|(\theta_+ - \theta_-)/2^{1/p}\|_p \le R.$$

$$\delta$$
  $\delta \in X_{p,m}(R)$  えれゆえしかし  $\leq d^n(X_{p,m}(R))$ 

 $I_n(\delta) = I_n((x_+ - x_-)/2^{1/p}) = 0$ 

の要素を取ることが、実現可能な点としてよく選ばれ ています。

最小ノルム、すなわち問題の解決策

属するしたがって、 $\|\delta\|_2$ と

# $(P_p)$ $\min_{x} \|\theta(x)\|_p$ 会わせる $y_n = I_n(x)$

ここで $=\theta(x)\Psi^Tx$ は、変換係数のベクトル、 $\ell_p^m$  $\theta \in$  。この手法の優れた点は、次のようなことが必要ない

ことです。 $X_{p,m}(R)$  半径を知るために 最小の要素である R 球の

規範は常にその内側にある。後で使うために、この解を 前のレンマにより、この手続きはニアミニマックスであ

$$E_n(X_{p,m}(R)) = \frac{2^{1/p-1} \|\delta\|_2}{\|x_+ - x_-\|_2/2} = \frac{2^{1/p-1} \|\delta\|_2}{2^{1/p-1} \cdot d^n(X_{p,m}(R))}.$$

# C. 定理1の証明

これで、「はじめに」の定理1を証明できる状態にな

まず、この 
$$p = 1$$
場合 、

GarnaevとGluskinの定理が含意 することは、すでに「はじめに」で説明したとおりであ を双対性で示す。( $\nabla_n \triangle X_{p,m}(R)$ )<br/>
「場合、同順位の

下界と上界を示せばよい。  $E_n(X_{p,m}(R)) = d^n$  下界のために、次のように定義されるエントロピー数を考える。を集合  $\mathcal{S}$ し、そのため $\mathcal{O}_n(X,\ell_2)$  netが、最大でも.cardinalityのn

netが、最大でも.cardinalityのnetを使って構築できるような最小の数を.

わかる。 0 <math>p < 1

$$d^n(b_{p,m}) \ge ce_n(b_{p,m}).$$

第二に、エントロピー数は [20], [21] に従う。

$$e_n(b_{p,m}) \simeq (n/\log(m/n))^{1/2-1/p}$$
.

同時に、定理7と6の組み合わせで、以下のことがわかります。

$$d^{n}(b_{p,m}) \le c(n/\log(m))^{1/2-1/p}$$
.

ここで、Feasible

Point法を適用すると、次のようになります。

$$E_n(X_{m,p}(1)) \le 2d^n(b_{p,m})$$

 $E_n(X_{m,p}(R))$ への即時拡張で

、すべての*R*≠。 と結論づけています。

$$E_n(b_{p,m}) \simeq (n/\log(m/n))^{1/2-1/p}$$

が証明されることになった。

# D. 定理2の証明

今が定理2を証明する好機である。  $\leq$  の場合、これは既知であることに注意する [22]-[25] 0 の場合も論証は同じで

あり、単にそれを繰り返すだけで

ある。とする。

x = 0そして、どのようなアルゴリズムであれ、適応的 に構築された部分

空間を考える。アルガリズムが終了すると、- 0 dimensionalの情報ベクトルと、ぞの情報ベクトルをすべて与えるであろうオブジェクトからなる部分空間  $V^0_n$  が得られる。  $(V^0 \cap X_n, R^{V_n}_n)$  のすべてのオブジェクトに対して、適応的な情報ベクトルは同じになる。ここで、その情報に関連する最小誤差はちょうどradius

である。

ラジウス

と比較ことで

結果が導かれる

IV. ベース・パーツイスト

前節の最小ノルム法には2つの欠点がある。第一に、≤ に対して

有効なアルゴリズムが必要

である。第二に

もし数問題が非凸最適化過

程を呼び起こすのであれば、それは難解であると考えられる。本節では、この2つの欠点を修正する。

z > 0

A. ケース

この 場合

、凸の最適化問題である。最適化変数と等価な形で書くと、次のようになる。

# $\min_{\alpha} \|\theta\|_1$ 会わせる

これは線形計画問題として定式化することができる: thebymatrixとする

線形計画問題

LP  $\min_{z} 1^{T} z$  subject to(IV.1

は、例えば、 $R^{2m}$  のベクトルを解とし

ように分割することができる。この再構成は、この線形プログラムは、一般に計算しやすいと考えられている。実際、この問題は信号解析の文献でBasis Pursuit [26]

という名前で研究されており、その中で、非常に大規模な劣決定問題-例えば withand-か

内点最適化法を用いてうまく解決された

性能に関しては

この方式がほぼ最適

であることが既に分かっている

。(III.2) より、以下

のようになる。

 $4.1:I_n$ が情報演算子で、ある種の

の場合、Basis Pursuit アルゴリズム  $A_{1,n}(y_n)$   $\hat{x}_{1,n}$ は、すべての場合において、達成される。

特に、我々は、任意の

クラス、すなわち任意の、任意の、 任意の、を扱うための普遍的なアルゴリズムを持って いる。まず、最適に近い情報演算子を適用し、次に、Ba sis Pursuitによって再構築する。その結果は

に

依存する定数である

。この不等式は次のように使うことができる。 修正。未知の

物体が高度に圧縮可能であることが知られているとします。例えば、*先験的な*境界 $\|\theta\|_1c_2m^{lpha}$ , 1/2に従うとします。 $K_{\epsilon}(c_1c_2/\epsilon)^2$ 

とする。このような物体に対しては、測定するのではなく、 $K_{\epsilon} m^{2\alpha} \log(m)$ 

を測定するだけでよく、再構成は以下のようになります。

 $p = ||x_0 - \hat{x}_{1,n}||_2 \le \epsilon \cdot ||x_0||_2.$ 

 $p_p = 1 \ (P_1)$ 

0 このケースはすでに重要で興味深いですが、より圧縮性の高い

象的な性能を提供するため、指数が  $\Phi^0 = y_n$ .

の方がさらに強い

p = 1.

n 2m  $[\Phi -\Phi]$   $\hat{\mathcal{L}}$ のたクションの後半 で、同じ解釈を、(1) (2) (3) (4) (5) (6)の性能に拡張します。

 $X_{p,m}(R)$ 

p < 1を通して

 $( ) Az = y_n,$ 

$$z^* = \begin{bmatrix} z^* \\ u^*v^* \end{bmatrix} \\ \hat{x}_{1,n} \quad \Psi \theta^* \quad \theta^* = u^* - v^*$$
 (P<sub>1</sub>)

n = 8192 m = 262144

p=1

$$C > 0 E_n(I_n, X_{1,m}(1)) \le C \cdot E_n(X_{1,m}(1));$$

R > 0

 $E_n(I_n, A_{1,n}, X_{1,m}(R)) \le 2C \cdot E_n(X_{1,m}(R)).$ 

 $X_{1,m}(R)$   $\Psi$  m R

 $||x_0 - \hat{x}_{1,n}||_2 \le c_1 \quad ||\theta||_1 \quad (n/\log m)^{-1/2} \log(m)/\log(n)$   $\epsilon > 0$ 

 $x_0$ 

<  $\alpha$  <

 $n \sim$ 

m

# B. $\ell_1$ と $\ell_0$ の関係 最小化

一般的なOR/IBC理論では、このよう  $0 なケースを扱うには、非凸の最適 <math>(P_p)$  化

 $\Phi_{\beta} \not = 0 \rightarrow 0$  場合 $\ell_p$ 空間。ここで  $\Phi$ 

# $(P_0)$ $\min \|\theta\|_0$ 会わせる $\Phi\theta = y$

 $\theta$ ここで、 $\theta + ker(\Phi)$ はちょうど.のノンゼロの数です。ここでも、Peetre and Sparr [16]の仕事以来、 $\ell \ell_0$ の重要性と $\ell \ell_p$  for  $\ell \ell_0$  例係が  $\beta \in R^m$ よく連解されています。より詳細については他別必参照してください。

通常、  $\ell_0$  ノルムを含むこのような問題を解くには、組合せ最適化 が必要です。  $\{1,\dots,m\}$  のす $\Phi$  で
のすな部分集合を対象して、  $\{P_1\}$ 

 $\nu(\Phi, J) = \sup \left\{ \frac{\|1_J \beta\|_1}{\|\beta\|_1} : \Phi \beta = 0 \right\}$ 解がものを探します。

が見つかります。

定理8: CS1-CS3 を、 $\Phi$ 与えられた正の定数  $, (\eta_i)$  で満たすとする。 $\rho$  に対する解があるとき $\rho$ 0 その解を求めるための定数 $\theta$ epending n m only on and and not on orが存在する。n

y =

最大で0である $P_0$ とき  $(P_1)$  両者は同じ一意解を

持つ。

つまり、方程式系が大量に不足決定されているにもかかわらず、  $\ell_1$  最小化とスパース解がコインで結ばれ、結果が十分にスパースである場合です。

現在では、  $\ell_1$  と  $\ell_0$  の最小化の等価性に関する結果を示す広範な文献があります [27]-[34]。このテーマに関する初期の文献では、 $O(n^{1/2})$ 

ノンゼロを許容するスパース性制約を含む条件下で等価性が見出されました。この種の結果が可能であることは意外に思われるかもしれませんが、スパース性制約  $\|\theta\|_0$   $O(n^{1/2})$ 

は、結局のところ、m期待はずれで小さいものなのです。 大きなブレークスルーはm0です。 大きなブレークスルーはm0です。

結果よりも劇的に弱いスパース性条件が必要であることを示しました。11]では、'ほぼ全ての'by行列について、≤

nonzeros,

کے

等価であること

が示されました。上記の結果は、「ほぼすべての」by matrices with

のために、事実上、以下のことを述べています。

,同値は $O(\rho n/\log(n))$  ノンゼロまで保持される, ここで.

我々の議論は[11]と並行して行われ、ヌルスペースには 条件を満たす

非常に特殊な構造があ

ることが示されました。

の問題です。がスパースであるとき、与えられたアフィン からい かっぱい かんしゅ お分空間において、小さい $\ell_1$ 

ノルムを持ちうる*唯一の*要素は自分自身で。 定理8を証明するために、まず、.のヌ

ルスペースにおける要素の非スパース性に関するレンマ が必要です。  $\{1,\dots,m\}$ 、与えられた ベクトルに対して、

> letdenoteは、ミューティル化された エントリと 。

のベクトルを

濃度を定義する

のヌルスペース中のあるベクトルに対して、ある部分 集合に集中できるノルムの割合を示す。 この集中度は、小さいと大きくならない。

レンマ4.1。 がCS1-

CS3を満たすとすると、定数および.に依存する定数が存在する。

では

証明する。これは定理7の議論を変形したものである。  $\beta$  とする。が最も集中した部分集合であると仮定し .再び CS2-CS3 を起動し、以下を得る。  $\|v\|_2$   $(\sqrt{n}/\sqrt{\log(m/n)})\cdot\|\theta_{J^c}\|_1$   $(n/\log(m))^{1/2-1/p}$ .

CS1を起動し、以下を得る。

今はもちろん、≤。これらをすべて組み合わせると

設定、レンマが続

*定理8の証明:* andが 部分集合にsup- ported であるとする 。

の唯一の最小化器であることをまず示す。

) N

の解であるとする。

その後、 $\beta$ .私たちは

トワイスの定義

が

今、 1/2 は、

e.、を与えています 。

ここで、 レンマ4.

1の定数を思い出して**Defin** eso 1/2

と。 レンマ4.1からは

implies  $\eta_0 \rho_0^{1/2} 1/2$ .

C. に対する基底追求の近最適性

ここで、Basis Pursuitが 全領域でほぼ最適である

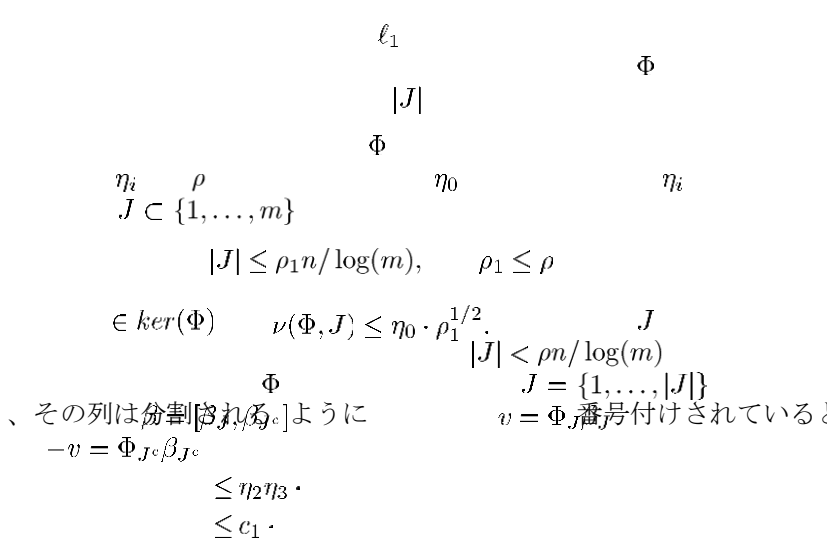
と主張することに戻ります。

 定理9: CS1-CS3
 を con stants

 と共に満たすものがあるとする。の問題インスタンス
 存在

$$\|\theta_0 - \hat{\theta}_{1,n}\|_2 \le C_p \cdot \|\theta_0\|_p \cdot$$

この証明には安定性のレンマが必要であり、ノルムで測定される小さな摂動に対して最小化が安定であることを示す。安定性のレンマについては、[33]-[35]を参照。



$$||\beta_{J}||_{2} \leq ||\Phi_{J}\beta_{J}||_{2}/\eta_{1}.$$

$$||\beta_{J}||_{1} \sqrt{|J|} \cdot ||\beta_{J}||_{2}$$

$$||\beta_{J}||_{1} \leq \sqrt{|J|} \cdot \eta_{1}^{-1}\eta_{2}\eta_{3} \cdot \sqrt{\frac{\log(m)}{n}} \cdot ||\beta||_{1}.$$

$$\eta_{0} = \frac{1}{\eta_{2}\eta_{3}/\eta_{1}} \qquad x = \Phi\theta \qquad \theta$$

$$J \subset \{1, \dots, m\}$$

$$\nu(\Phi, J) < 1/2 \quad \theta$$

$$\theta' \qquad (P_{1})$$

$$\theta' = \theta + \beta \qquad \|\theta \|_{1} k \underline{\underline{c}} r \|\Phi\|_{1}.$$

$$0 \le \|\theta\|_{1} - \|\theta_{\nu}' \|\underline{\Phi}, \underline{\underline{c}} f\|\beta_{J}\|_{1} - \|\beta_{J^{c}}\|_{1}.$$

$$\|\beta_{J}\|_{1} - \|\beta_{J^{c}}\|_{1} \le (\nu(\Phi, J) - (1 - \nu(\Phi, J))\|\beta\|_{1}.$$

$$\nu(\Phi, J) < \qquad 2\nu(\Phi, J) - 1 < 0$$

$$\|\beta\|_{1} \le 0$$

$$\theta = \theta'$$

$$\eta_0 > 0$$

$$\sim \mathcal{O}\eta_0\sqrt{\rho_0} < \rho \leq \rho$$

$$\rho_0 \leq \rho$$

$$|J| \leq \rho$$

$$u(\Phi, J) \le \qquad \qquad \qquad \square$$

$$0$$

0

$$\begin{array}{cccc} & & & & & & & & & \\ \eta_i & & \rho & & & & C = C(p,(\eta_i),\rho,A,\gamma) \\ & & & & & (P_1) & y = \Phi\theta_0 \\ & & & & & & (n/\log m)^{1/2-1/p}. \end{array}$$

 $\ell_1$   $\ell_2$   $\ell_\infty$ 

Lemma  $4.2:\theta_0$  を

 $R^m$  and be  $\theta_0$   $\theta_0(i)$  かいとし、そ

れに対応するエントリを

$$u(\Phi,J) \leq \nu_0 < 1/2$$
 持つ変異したべ $(P_1)$  トルとする。こ $\Phi\theta$ 。 ( $P_1$ )

 $\|\theta_0 - 1_J \theta_0\|_1 \le \epsilon$ 

ところ。のインスタンスを考

えてみましょう。 によって y =

のこのインスタンスの解 $\hat{ heta}_1$ は

定義され

、 obeys

$$\|\theta_0 - \hat{\theta}_1\|_1 \le \frac{2\epsilon}{1 - 2\nu_0}.$$
 (IV.2)

Lemma~4.2~の証明: 短く  $\hat{\theta}\hat{\theta}_1$  とし、以下を設定する。  $\beta\hat{\theta}=~\theta_0~-~\in ker(\Phi)$  .の定義によめ

$$\|\theta_0 - \hat{\theta}\|_1 = \|\beta\|_1 \le \|\beta_{J^c}\|_1/(1 - \nu_0)$$

ながら

$$\|\beta_{J^c}\|_1 \le \|\theta_{0,J^c}\|_1 + \|\hat{\theta}_{J^c}\|_1.$$

 $\hat{\theta}$   $(P_1)$ 

$$\|\hat{\theta}_J\|_1 + \|\hat{\theta}_{J^c}\|_1 \le \|\theta_0\|_1$$

が解決する

ように、そ

してもちろ

W

 $\|\theta_{0,J}\|_1 - \|\hat{\theta}_J\|_1 \le \|1_J(\theta_0 - \hat{\theta})\|_1.$ 

それゆえ

$$\|\hat{\theta}_{J^c}\|_1 \le \|1_J(\theta_0 - \hat{\theta})\|_1 + \|\theta_{0,J^c}\|_1.$$

最後に

 $\|1\cancel{A}\theta \cancel{B} - \hat{\theta})\|_1 = \|\beta_J\|_1 \le \nu_0 \cdot \|\beta\|_1 = \nu_0 \cdot \|\theta_0 - \hat{\theta}\|_1.$ 上記を組み合**物**はついる 作品  $\|B_0 \cdot J_1\|_1^1$  さん まると、以下のようにな

ります。

$$\nu(\Phi, J) \le \eta_0 \rho_0^{1/2} \le 1/4.$$
  
 $\delta < (\nu_0 \delta + 2\epsilon)/(1 - \nu_0),$ 

となり、(IV.2)が成り立つ。

定理9の証明:定理7と同じ一般的な枠組みを用いる。  $y=\Phi\theta_0$  Let whele の解を $\hat{\theta}$  とし、 $\theta_0$  を設定する。  $\beta=\hat{\theta}-\frac{1}{2}$   $\beta=\hat{\theta}-\frac{1}{2}$   $\beta=\frac{1}{2}$   $\beta=\frac{1$ 

定

## V. きんきゅうえんちょう

続けて述べる前に、ここまでの結果に対する2つの直接的な拡張について触れておく。これらは、以下でも他の場所でも興味深いものである。

## A. タイトフレーム

 $I_m. \theta(x)\Psi^T x$  とすれば、以下のようにパースバル関係が成り立つ。

# $||x||_2 = ||\theta(x)||_2$

と再構成の公式  $x = \Psi \theta(x)$  がある。実は、定理7と9は、証明にパースバル関係しか必要ない。したがって、and の関係が tight frame場合でも、同代結果がそ

mame場合でも、向し結果がそのまま成立する。 特にCS1-CS3 を満たすanmatrix 、

ほぼ最適な情報演算子が  $\min_{x} \|\Psi^T x\|_1$  定義れ、最適化問題

 $(L_1)$  subject to  $I_n(x) = y_n$ 

の  $\rho_0 n/\log(m)$  最大振幅のエントリをインデックスと する

から

П

 $\|\theta_0\|_p$  となり、(II.4)となる。

となり、レンマ4.1より

レンマ4.2を適用すると

DQNOHQ圧縮するが有構成アルゴリズム $\hat{x}_1$ を定義する。

レフェリーから、ここでタイトフレームに注目する 必要はない、一般的なフレームがあれば、フレーム境 界を含む定数で同じ結果が得られる、という指摘があ りました。これは事実であり、潜在的に非常に有用で あるが、以下では使用しない。

# B. 弱い ℓ<sub>p</sub> ボール

これまでの主な結果は  $\ell_p$  空間について述べたものであるが、その証明は*弱い*  $\ell_p$  球についても同様に成り立つ 1) 。 半径の弱い  $\ell_p$  球は、その減少する再配列  $|\theta|_{(1)}$   $|\theta|_{(2)}$   $|\theta|_{(3)}$   $|\beta|_1 \le c \cdot R \cdot |J|^{1-1/p}$ . (IV.3)

の  $\delta=\beta/\|\beta\|_1$  ベクト $\ker(\Phi)$  あり、 $\|\delta\|_1=1$ 。 したがって

$$\|\delta\|_2 \le c \cdot (n/\log(m))^{-1/2}$$
.

これを(IV.3)と組み合わせると

 $\|\beta\|_2 \le c \cdot \|\beta\|_1 \ (n/\log(m))^{-1/2}.$ 、均質性によって次のように

結論づけられる。

$$\|\beta\|_2 \le c \cdot R \cdot (n/\log(m))^{1/2-1/p}$$
.

が従うベクトルから構成されます。

$$|\theta|_{(N)} \le R \cdot N^{-1/p}, \qquad N = 1, 2, 3, \dots$$

逆に、与えられた 、これらの等式がすべて成立する最小のものは

ノル

ムと定義される

弱い "という名称は、 $\|\theta\|_{w\ell_p}$  に由来する。weak  $\ell_p$  constraints は次のような重要な性質を持っている:最大の項目を除くすべての項目をひとしたベクトルの変異版を示する、不等式  $> \dots$ 

$$\|\theta - \theta_N\|_q \le \zeta_{q,p} \cdot R \cdot (N+1)^{1/q-1/p}$$
 (V.1)

は p < 1 q = 1, 2and,  $R = \|\theta\|_{w\ell_p}$  withに対して有効である  $\|\theta\|_{r}$  実際 $\|\theta\|_{\text{eff}}$  と9は $(V_1)$   $\|\theta\|_{w\ell_p} \stackrel{?}{=} R$   $Y_{p,m}(R)$  (暗黙のうちに)と共に記訳に必要としただけである  $\theta$ 。 N 弱規範だけで

定義された空間に対する証明はそのまま 適用される。

# VI. 定型化されたアプリケーション

□ 我々は、上記の抽象的な理論の3つの潜在的な応用を スケッチする。それぞれの場合において、あるクラスの 関数  $\hat{f} = \sum_{k} \beta_{j_0,k} \varphi_{j_0,k} + \sum_{j=j_0}^{j_1-1} \hat{\alpha}_{j,k} \psi_{j,k}$ 

は、特定の  $n \ell_p m$  または弱い 埋め込みに従う基底またはフレームに展開係数があり、その後、上記の抽象的な理論を適用します。

 $\|\hat{\theta} - \theta\|_2 \le c\|\theta\|_1 \cdot (n/\log(m))^{-1/2}$  A. バンプ・アルジェズ  $\bar{Z}^{\frac{3}{2}}$ 

バンプ代数  $\mathcal{F}(B)_{\mathcal{F}(B)}$   $\in$  [2] に属する関数の単位区間への制限であり、バンプノルム  $\mathcal{B}$   $\leq$  を持つ  $\|f\|_{\mathcal{B}}$  関数 f(t),t

[0, 1]

クラスについて考えて。これ

は、レベル j のウェーブレット係数が  $\|\theta^{(j)}\|_1$   $2^{-j}$  に従うことを観察した「はじめに」で述べたもので、ここで使用するウェーブレットにのみ依存するものである。以下、[36], [37],

[2]と同様に、標準的なウェーブレット解析の表記を用いる。

f 古典的な線形方式では、「最短スケール」 j を固定し、レジュメ係数 $\beta_{j_1,k}$  を測定します.

-k)に積分する滑らかず(関数元k).  $\varphi_{j,k}$   $\mp$  $2^{j/2}$ (共2日イリアスフィルタを適用した後のスケール(

 $P_{j_1}f = \sum_k \beta_{j_1,k} \varphi_{j_1,k}$ 

 $2^{-j_1}$ ) の点サンプルとお考えください。再構成は 近似誤差

 $||f - P_{j_1}f||_2 \le C \cdot ||f||_{\mathcal{B}} \cdot 2^{-j_1/2}$ 

は、選択されたウェーブレットにのみ

C 依存するあります。

N =

 $2^{j_1}$ 

 $(eta_{j_1,k})_k$  単位区間に付随しているので、近

似誤差は

 $||f - P_{j_1}f||_2 \le C \cdot ||f||_{\mathcal{B}} \cdot N^{-1/2}.$ 

圧縮センシング方式では、さらにウェーブレット =  $2^{j/2}\psi(2^jx-\psi_{j,k}k)$  ここで、 $\psi$ 

は平均ゼロの振動関数がある。最も粗い 2<sup>30</sup> スケールを選ぶ

 $\theta \equiv (\theta_\ell)_{\ell=1}^m$ 

 $(lpha_{j,k},0)$  我々は、レジュメ係

 $g_{j_0,k}$  を測定する - 存在する-

そして詳細なウェーブレット係数の列挙を示すとする。 cients :  $\leq k < 2^j$ )  $j_0 j_1$ 生次元 m

cients :  $\leq k < 2^{j}$ ;  $j_0 j_1 \diamondsuit$ . 仮如  $\theta \parallel_1$  。 ノルムは以下を満たす。

 $\|\theta\|_1 \le \sum_{j_0}^{j_1} \|(\alpha_{j,k})\|_1 \le \sum_{j_0}^{j_1} C \cdot \|f\|_{\mathcal{B}} \cdot 2^{-j} \le cB2^{-j_0}.$ 

これにより、我々の理論に必要な  $\ell_1$   $\ell_1$   $\ell_2$   $\ell_3$   $\ell_4$   $\ell_5$   $\ell_5$ 

で、fに依存しない。全体の再構成

ハズレ

を再び独立させた。 これは線形サンプリ

ングの誤差と同じオーダーである。

圧縮センシング方式は、レジューム係数の

詳細係数に

サンプルと 関連 する サンプルの

合計を、情報の総量とする。これにより、従来のサンプルに基づくサンプリングと同程度の誤差を実現する。つまり、線形サンプリングのサンプル数の立方根程度で、同等の精度を得ることができる。

このようにサンプリングを劇的に減らすためには、 CS1-

CS3を満足するものに基づく情報演算子が必要である。基礎となる測定カーネルは次のような形式となる。

$$\xi_i 1, \dots, n$$
 (VI.1)

ここで、

コレクションは単にウェー

ブレットの列挙であり、  $\psi_{i,k}$ 、 $j_1$ と  $2^{j}$ 。

### B. 境界型バリエーションイメージ

ここで、「はじめに」で述べた「境界付き変動」の イメージを持つモデルについて考える。全変動が最大 でも [38]であり、絶対値で≤に 束縛される 、 領域を

歩~

関数のクラスとする。はじめに」で、レベルj のウェーブレット共効

率は、使用するウェーブレットにのみ依存 し、 $\|\theta^{(j)}\|_1$  に従うと述べました。また、

2<sup>-1</sup>もそうである。 f で関数を近似する2つの方法を再び考えてみます。 古典的な線形スキームは、すでに説明したスキームの2次元バージョンを使用します。ここでも「最も細かいスケール」 j<sub>1</sub>を固定し、レジュメ係数を

測定します。ここで、 $(k_1, k_2)$ は 整数の組で

、インデックスを付けます。

の位置に配置する。ここでは、Haarスケーリング関数

近似誤差を与えて再構築

します。

 $eta_{j_1,k}$  単位二乗に関連する係数  $4^{j_1}$  があるので、近似誤差は次のようになる

圧縮センシング方式では、Haar ウェーブレット  $\psi^{\sigma}_{j_1,k}$ k) も必要である。ここで  $\psi^{\sigma}$ は平均ゼロの振動関数で、水平方向か

垂直方向(σまたは斜め方向

.最も粗い

スケール」を

選び、そのレジューム係数 $eta_{j_0,k}$ -there are ofthese を測定する。そして、詳細なウェーブレット係数の連結を "Wavelet" とする。

:  $0 \le k_1, k_2 < 2^j, \sigma \in \{h, v, d\}$ ):  $j_0 \le j < f_1^2$ 9  $\theta \quad m = 4^{j_1} - 4^{j_0} \quad \mathcal{O} \, \overline{\mathcal{I}} \, \mathcal{I} \, \mathcal{J} \, \mathcal{I} \, \mathcal{J} \, \mathcal{I} \, \mathcal{J} \, \mathcal{I} \, \mathcal{I} \, \mathcal{J} \, \mathcal{I} \,$ 

$$\|\theta\|_1 \leq \sum_{i=j_0}^{j_1} \|(\theta^{(j)})\|_1^n \leq c 2^{j_0} \frac{\log(2^{j_1})}{2^{j_0} + j_1^1} \|f\|_{\mathcal{F}_{\mathcal{V}}}.$$

これによ $2^{j}$ て、我々の理論を適用するために必要なノルムの制約が確立される $c \cdot 2^{j}$ の $183^{j} 4^{j}$  ナアオプショナルインフォメーションオペレータを n m 適用 し 、 を適用する。

$$= \sum_{j=1}^{m} \Phi_{i,\ell} \phi_{\ell}, \qquad i =$$

$$(\phi_{\ell})_{\ell=1}^{m}$$

$$j_{0} \leq j < \qquad 0 \leq k <$$

$$f(x) \qquad x \in [0,1]^2$$
 
$$||f||_{\infty} B$$
 
$$\leq C \cdot B C$$
 
$$||\theta^{(j)}||_{\infty} \leq C \cdot B \cdot$$

$$\beta_{j_1,k} = \langle f, \varphi_{j_1,k} \rangle$$

$$k = 0 \le k_1 \ k_2 < 2^{j_1}$$

$$\begin{split} \varphi_{j_1,k} &= 2^{j_1} \cdot 1_{\{2^{j_1}x - k \in [0,1]^2\}} \cdot \\ &\quad P_{j_1}f = \sum_k \beta_{j_1,k} \varphi_{j_1,k} \\ &\quad N = \\ N &= \\ \end{split}$$

$$||f - P_{j_1}f||_2 \le c \cdot B \cdot N^{-1/4}.$$
  
=  $2^{j_1} \psi^{\sigma} (2^{j_1} x - 1)$ 

$$(\sigma = v) (\sigma = d)$$

$$= h) j_0 = j_1/2 A^{j_0}$$

$$\theta \equiv (\theta_{\ell})_{\ell=1}^{m} \\ ((\alpha_{j,k}^{\sigma})$$

 $\ell_1$ 

$$f = \sum_{\mu} \langle f, \gamma_{\mu} \rangle \gamma_{\mu}.$$

 $\|\theta^{(j)}\|_{w\ell_{2/3}} \le c(B,L), \qquad f \in \mathcal{C}^{2,2}(B,L);$ の最適なアルゴリズムで、(得られた情報で対して、誤差の推定値を得る。

$$\begin{split} \|\hat{\theta} - \theta\|_2 &\leq c \|\theta\|_1 \quad (n/\log(m_{\rm h})) \overline{1}^{1/2} \leq c B \quad 2^{-j_0} \\ \hat{f} &= \sum_k \beta_{j_0,k} \varphi_{j_0,k} + \sum_{j=j_0} \hat{\alpha}_{j,k} \psi_{j,k} \end{split}$$

$$||f - P_{j_1} f||_2 \le c \cdot B \quad 2^{-j_1/2}, \qquad f \in \mathcal{C}^{2,2}(B, L).$$
$$||f - \hat{f}||_2 \le ||f - P_{j_1} f||_2 + ||P_{j_1} f \quad \hat{f}||_2$$
$$||\hat{\theta} - \theta||_2$$

で、fに依存しない。全体の再構成

ハズレ

$$= ||f - P_{j_1} f||_2 + < c2^{-j_1/2}$$

を再び独立させたもので、  $\in \mathcal{F}(B)$  f 。 これは線形サンプリングの誤差と同じオーダーである

圧縮センシングスキームは、レジューム係数のサンプル $4^{j_0}$ と詳細係数に関連する $\mathfrak{b}^{4j_0}$ の $\mathfrak{b}^{3}$ 2 $\mathfrak{b}^{4j_0}$ 合計 $4^{j_1/2}$ の測定情報を取得する。これは、  $\leq c \cdot j_1^3$   $4^{j_1}$ のサンプルでクラスシカルサンプリングと同等の誤差を達成します。このように、Bump

Algebraのケースで見たように、同等の精度を得るために 必要なサンプル数は劇的に少なく、おおまかに言えば、 線形サンプリングのサンプル数の平方根程度で済むので す。

# C. Piecewise $C^2$ 画像 $C^2$ エッジを持つもの

スタイトフレームへの拡張と、先に述べたweak-への拡張を適用する例を考える。再び画像処理の設定で、Candès 2 and Donoho [39], [40]で議論された  $C^2 - C^2$  モデルを使用でます。適切な B  $\leq$  パラメトリザーションで1次および2次導関数 を持つ曲線 B  $C^2$  の和である例外集合から,値,1次および2次偏導関数を持つ 区分的に滑らかな f(x),x をcollectionことを考えてみましょう.より

色彩的に言えば、このような画像はカートゥーン-断片的に滑らかな曲線の境界で区切られた、一様な滑ら かな挙動のパッチ-

である。このような画像は、ある種の技術的な画像、たとえば放射線医学の分野では妥当なモデルといえるかも

$$||f||_2^2 = \sum_{\mu} |\langle f, \gamma_{\mu} \rangle|^2$$

しれない。

カーブレットタイトフレーム[40]は、パースバル関係 を提供する滑らかなフレーム要素の集合体です

# と再構成式

フレーム要素はマルチスケール構成で、スケールごとに グループ化されたフレーム係数  $\theta^{(j)}$  は、弱い  $\ell_i$  制約に従う。

40]と比較してください。このようなオブジェクトの場合、滑らかな2次元スケーリング関数によるスケール  $j_1$  における古典的な線形サンプリングは、次のようになります。

これは、Bounded

Variationの場合の線形サンプリングの性能と同じであ る.

Bounded Variationと比較した場合。

圧縮センシングスキームでは、最も粗いスケールで  $50 j_0 j_1/4$ 

を選ぶ。我々は、滑らかなウェーブレット展開のレジ ューム係数 $\beta_{i_0,k}$ を測定し(これらの $4^{j_0}$ 

がある)、より細かいスケールのカーブレット係数  $:j_0j_1)$ の連結を

記録するの過完結の ため, 次元は次のように なる

カーブレット

弱い「ノルム」は次のようになる

 $\Phi_{n,m}$ 

いた

 $\rho > 0$ 

とに依存している。これにより、我々の理論に必要な 弱いℓ<sub>p</sub>ノルムに対する制約が確立される。我々は

に対して、近最適情報演算子を適用し、and .得られた情報に対して、  $\ell_1$ 最小化の近最適アルゴリズムを適用し、誤差推定値

absoluteと。全体の再構成は

ハズレ

を再び独立させたもので、 これは線形サンプリングの誤差と同じオーダーであ る。

圧縮センシング方式は、レジューム係数と詳細係数に 関連する < のサンプルの合計で、情報量が1個になる。 この方

 $4^{j_1}$ 式は、 のサンプルに基づく古典的なサンプリングに匹敵する 誤差を達成する。つまり、Bump gebraの場合よりもさらに、同等の精度を得るために必 要なサンプル数は劇的に少なくなり、おおまかに言え ば、線形サンプリングのサンプル数の4分の1の数で済 JP.

VII. NEARLY ALL MATRICES ARE CS

### **MATRICES**

定理6を次のように再定式化することができる

定理10: 、 を問題サイズのシーケンスとする

 $n \to \infty$   $n < m \sim$ 

5%ら独立に一様にラM2ダムに引 列を持つ行列とする  $C^{2,2}(B,L)$ このとき、ある Φ 場合、条件CS1~ CS3な、すべての大きな.に対して圧倒的な確率で成立す  $\begin{array}{rcl}
 & \delta \circ \theta & \equiv & (\theta_{\ell})_{\ell=1}^{m} \\
 & \theta & m = c(4^{j_1} - 4^{j_0}) \\
 & \ell^{2/3}
\end{array}$ m

$$\|\theta\|_{w\ell_{2/3}} \le \left(\sum_{j_0}^{j_1} \|\theta^{(j)}\|_{w\ell_{2/3}}^{2/3}\right)^{3/2} \le c(j_1 - j_0 + 1)^{3/2}$$

$$c' \qquad n = c \cdot 4^{j_0} \log^{5/2}(4^{j_1})$$

 $\|\hat{\theta} - \theta\|_2 \le c \|\theta\|_{2/3} \cdot (n/\log(m))^{-1} \le c' \cdot 2^{-j_1/2}$ 

$$\begin{split} \hat{f} &= \sum_{k} \beta_{j_0,k} \varphi_{j_0,k} + \sum_{j_1,j_1} \sum_{\mu \in M_j} \hat{\theta}_{\mu}^{(\overline{j})} \gamma_{\mu} \\ \|f - \hat{f}\|_2 &\leq \|f^{-j_1} P_{j_1} f\|_2 + \|\hat{P}_{j_1} f - \hat{f}\|_2 \\ c &\in \mathcal{C}^{2,2}(B,L) \end{split}$$

 $n m_n$  $An^{\gamma}$ 

> $\Phi =$ A > 0 $\gamma > 1$

実際、 上の列を 均等にサンプリングすることによって生じる 上の確率測度は、まさに

i.i.d.  $\Phi_{n,m}$  $\Phi_{n,m}$ 

上の自然な均一測度であることに注意しよう。したがっ て、定理6は定理10から即座に導かれる。

事実上、CS条件を満たす行列はどこにでもあるため、 一様な確率分布から*無作為に*サンプリングして生成する ことが合理的である。

定理10の証明は、第VII節から第VIII節にわたって行わ れる。

A-C; イベント $\Omega_n^i$ ,

where  $\Omega^{1}_{\infty}$  CS1 Holds,

などを研究する むとによって進められる。パラメータ  $\geq \rho_i >$  $\eta_i$ 

$$P\left(\Omega_n^i\right) \to 1, \qquad n \to \infty;$$

とすると、 $\min_{P_i} \geq \Omega_n$  を定義  $= \bigcap_i \Omega_n^i$ すると、次のようになります

$$P(\Omega_n) \to 1, \qquad n \to \infty.$$

が発生したとき、ランダムドローは CS1-CS3 に従うマトリクスをパラメータと η<sub>i</sub> > fb して生成しているので、定理  $\beta$ に対して、次のように示される。

収束は指数関数的である。

J

 $P(\Omega_n^c) <$ を高速化

すること

ができま

す。 A. 最小固有値の制御

次のレンマは、正の定数を選び η1 、条件CSFが注倒的は。 のである。 > 0 の確率が高い。

 $\nu \nu \sim 7.1$ 。を持つ $(n, m_n)$ の列を考える。  $n \leq m_n \sim$ とき、 $\beta_1$  があり、十分に小さく、  $An^{\gamma}$ .イベントの定義

$$\Omega_{n,m,\rho,\lambda} = \left\{ \lambda_{min} \left( \Phi_J^T \Phi_J \right) \ge \lambda, \ \forall |J| < \rho \cdot n / \log(m) \right\}.$$

 $\lambda < 1$ それぞれについて、#分化小さい 次に、

$$P(\Omega_{n,m,\rho,\lambda}) \to 1, \quad n \to \infty.$$

この証明には3つの考え方がある。最初の考え方は、 レンマ 7.1 で注目される事象は、個々の部分集合

$$\Omega_{n,m,\rho,\eta} = \bigcap_{|J| < \rho n/\log(m)} \Omega_{n,J}.$$

我々の計画は、すべての $\Omega_{n,I}$ の発生確率を束縛することである。第二のアイデアは、特 定の部分集合に対して、最小固有値の大きなデビジョン 境界を得ることである;これは次のように述べることが できる。

最後の3つ目のアイデアは、個々の部分集合に対する境 7 界が、すべての.NETの同時動作を制御することができ るというものである。これは次のように表現される。

レンマ7.3:ある  $\beta > 0$  固定のandに従った すべてのイベントがあるとする。

$$P\left(\Omega_{n,J}^c\right) \le \exp(-n\beta),$$

 $\vdash |J| \le$ をもるで

それぞれ**につり**て..., *m*}  $\rho n$ .  $\rho_1 < \min(\beta, \rho) \geq \beta_1 > 0$ β <del>.</del>物に、すべての 十分大きな

$$P\Big\{\Omega_{n,J}^c$$
 あるい  $J\subset\{1,\ldots,m\}$  みで 
$$|J|\leq p_1n/\log(m)\Big\} = \exp(-\beta_1n).$$

本節の主要な目的であるレンマ7.1は、これら3つの考 え方を組み合わせることで導かれる。

あとは、レンマ7.3を証明するだけである。とする。

$$\mathcal{J} = \{J \subset |J| \leq$$

 $\{1,\ldots,m\}$  with  $\rho_1 n / \log(m)$ .

ブールの不等式により、以下のようになることに

注意。

を以下のとおりとします。

レンマ7.2である。

に対して、

最小

固有値を超える

事象を表すとする。その

すべての

$$P\left(\Omega_{n,J}^c\right) \le \exp(-n\beta_1)$$

$$\sqrt{\frac{\pi}{2n}}$$

DONOHO圧縮センシング 
$$P\left(\cup_{\mathcal{J}}\Omega_{n,J}^{c}\right) \leq \sum_{J \in \mathcal{J}} P\left(\Omega_{n,J}^{c}\right) \leq \#\mathcal{J} \cdot \exp(-\beta n),$$

最後の不等式は、各メンバー  $\mathcal{J}$  が カージナル数であることから、  $\rho_1 n/\log(m)$ 、すぐに次のようになります。

> .また、当然ながら

というわけで、 $\leq$ が得られる。 $\beta_1$ を所与とすると、目的の結論が得られる。

# B. 球状断面積の特性

ここで、条件

CS2

は、十分に小さいが正の値を選ぶことで、大きな値に 対して圧倒的な可能性を持つことができることを示す 。我々のアプローチは、バナッハ空間理論からの重要な 結果である、ほぼ*球面分割現象を*適用した

$$|J| \leq \rho_1 n$$
で統一しています

これは、ランダム行列の特異値の測度集中の性質を利用して、[11] や [35] で導かれています。例えば、Szarekの仕事 [41], [42] を参照してください。

 $\log(\#\mathcal{J}) \log \binom{m}{\rho_k n} \le k \log(m),$ 

的な議論は、Milman, Kashin, and others [44], [10], [45]の研究に由来するもので、Pisier [19] の議論を改良し、[11]のように、新しい推論を導き出した。我々は、ほぼ球形断面が存在するだけでなく、あらゆる n  $\eta_2$   $\rho_2$ 

withwillで生成さほど、ど

こにでも存在することを結論付ける。

定義 .を  $7.1:\mathcal{O}$ 間のレトリ 提供する「イソー kム」と言います。  $\epsilon$   $\forall \, \alpha \in \mathbf{\textit{R}}^k$   $|\mathring{J}| <$ 

 $(1 - \epsilon) \cdot \|\alpha\|_2 \le \|\Phi_J \alpha\|_1 \le (1 + \epsilon) \cdot \|\alpha\|_2. \quad (VII.1)$ 

次のレンマは、条件CS2が行列の一般的な性質であることを示す。

定理7.4: すべての 
$$\Omega_n^2 \left( \equiv \Omega_n^2(\epsilon,\rho) \right)$$
  $\Phi_J \geq \ell_1^n \leq D$  間の riskow try を提供します。 
$$\ell_2(J)$$
 それぞれについて、 $>0$   $\rho(\epsilon)$ 

が存在し、以下のようになる。

$$P(\Omega_n^2) \to 1, \qquad n \to \infty.$$

これを証明するためには、まず[11]で証明された個々のJ 部分集合に関するレンマが必要である。

$$u$$
ンマ7.5:  $\epsilon > 0$ 修正  $\delta$ 。 を 選択 
$$(1-3\delta)(1-\delta)^{-1}\epsilon$$
 (VII.2)

لح

$$(1+\delta)(1-\delta)^{-1} \le (1+\epsilon)^{1/2}.$$
 (VII.3)

 $\rho_1 = \rho_1(\epsilon)$  選択

$$\delta^2 \frac{2}{\pi}$$

$$v \in$$

 $i \in J^c$ 

$$\rho_1 \ (1+2/\delta) <$$

y

 $\delta > 0$ 

とし、剛者の産を表すとする。

 $J = \{1,\dots,m\}$ の部分集合に対して 、  $\mathfrak{G}_{n,J}^n$  は、 $\Phi$  が  $\infty$  の -isometry を与えるという事象を表すとすると、次のようになる。

 $\max_{|J| \le \rho_1 n} P(\Omega_{n,J}^c) \le 2 \exp(-\beta(\epsilon) n(1 + o(1))).$ 

ここで、レンマ7.4で注目される事象は

$$\Omega_n^2 = \cap_{|J| \le \rho n/\log(m)} \Omega_{n,J};$$

を適用し、Lemma 7.3 の結合原理を適用する。

# C. 商慣行不等式

ここで、3/4、十分回かさい場合、次のことを示す3>0という性質があり、ほぼ全ての大きな by 行列は CS3の性質を持ちます。我々の議論は、読者が参考にすると思われる[11]から大いに借用したものである。ここでは、直観を提供したり、バナッハ空間の局所理論における密接に関連した概念(例えば、Milmanの部分空間の商定理[19])と比較するような試みはしていない。

 $\{1,J.,m\}$  の任意のインデックスの集まりと $\Re a_n ge(\Phi_J)$ は  $\Sigma_J R^n$  の線形部分空間であり,この部分空間上で,可能な $\Hat{AJ}$  パターンの部分集合,すなわち

$$\sigma(k) = \mathrm{sgn}\left\{\sum_{J} \alpha_i \phi_i(k)
ight\}, \qquad 1 \leq k \leq n.$$
CS3は、  $\mathrm{sgn}(v)$  のある近似値が  $\frac{Range(\Phi_I)}{|\langle y, \phi_i \rangle|} \leq 1$ 

を満たすことを示せれば、それに従う

لح

$$\forall i \in J^c, \quad |\langle \phi_i, y \rangle| \le 1.$$
 (VII.6)

つまり、どんな符号パターンでも、その

小さな 倍数が

 $\epsilon_n \sigma$  デュアルボールの中でほ

とんど生きているのxで $||\phi_i,x\rangle| \le 1, i \in J^c$ }。

この結果を証明する前に、この結果がどのようにプロ パティーCS3を与えるか体系す。すなわち、  $v = -\Phi_{J^c}\beta_{J^c}$  $\rho_{3}n/\log(m)$ 、および

ふくむ

$$\|\beta_{J^c}\|_1 > \eta_3 / \sqrt{\log(m/n)} \cdot \|v\|_1.$$
 (VII.7)

凸最適化問題を考える

$$\min \|\beta_{J^c}\|_1 \qquad \qquad \Phi_{J^c}\beta_{J^c} = -v. \qquad \qquad 条件と$$
 (VII.8)

これは、(IV.1)と同じような構成で、線形計画として書くことができる。線形計画法の双対定理により、原始プログラムの値は少なくとも 双対プログラムの値である。

*Lemma 7.6:* **一様な符号パターン埋め込み。を**修正する。 次に、 for,set τ

レンマ

7.6

は、双対実行可能なベクトルの供給と、それによる双対プログラムの下界を与えてくれます。  $\operatorname{sgn}(v)$  を使って、どれが双対実行可能で、どれに従うかを見つけることができます。

を適切に選び、球面分割の定理を考慮すると、十分に大きな,が得られる。 $\delta \|\sigma\|_2 \|v\|_2$ 

; (VII.7) は

3/4 で導かれる。

*I) 一様な符号パターン埋め込みの証明。レンマ7.6*の 証明は、この

ケースを検討した[11]の同様の結果に密接に従っ たものである。ここで、我々の考えは、 この場合の論証を

の選択の違いを反映した変更と、スパース性境界  $\rho n/\log(m)$ 

を用いた場合である。論証の大部分は[11]の対応する部分と同じであるため、割愛する。我々の努力の大部分は以下のレンマの生成に費やされ、*単一*符号パターン

 $\epsilon_n = (\log(m_n/(\tau n)))^{-1/2}/4.$  (VII.4)

十分に

 $ho_3>0$ 小さい場合は  $\Omega_n^3\equiv$ 

イベントがあります  $\Omega_n^3(
ho_3,\delta)$ 

 $P\left(\Omega_n^3\right) o 1$ with $p\to\infty$  J $|J|<
ho_3n/\log($ 和回のイベントでは、各サブセットに対して  $y(\equiv y_\sigma)$ 

で  $\sigma \in \Sigma_J$ 、 各符号パターンに対して、 ベクトルwithが存在します。

 $||y - \epsilon_n \sigma||_2 \le \epsilon_n ||\delta \cdot ||\sigma||_2$  (VII.5)

の dual  $i \in J^c$ . ban への近似的な埋め込みを証明するものである。

k)に従う

yベクトルを出力する、以下に述べる反復アルゴリズムが存在する。m < m < Am  $n < m \sim Am^\gamma$ 

 $|\langle \phi_i, y \rangle \lesssim 1,$   $i = 1, \dots, m - k.$  (VII.9)

 $(\phi_i)_{i=1}^{m-k}$  を  $\mathbf{S}^{n-1}$  i.i.d.一律をし  $\Omega_\sigma$  、以下の確率で制御される事象が存在

する。

 $\operatorname{Prob}\left(\Omega_{\sigma}^{c}\right) \leq 2n \exp\{-n\beta\} \tag{VII.10}$ 

 $\beta > 0$  を明示的に  $\delta$  与えることができます。この事象について

 $||y - y_0||_2 \le \delta \cdot ||y_0||_2.$  (VII.11)

レンマ7.7はそれ自身のセクションで証明される。ここでは、それがemma 7.6を含意することを示す。

いわゆるVapnik-

 $y_1 = y_0 |\langle \mathcal{B}_{I_0} y_0 \rangle| > 1$  $|\langle \phi_i, y_0 \rangle| > 1/2$ 

Cervonenkis理論[46]の標準的な含意を思い起こす。

$$\#\Sigma_J \le \left(\frac{n}{\overline{\overline{c}}}\right) + \binom{n}{1} + \frac{y_2}{\cdots} + \frac{y_3}{|J|}$$
 1

 $\rho n/\log(m)$ , 本角ば、に注意してください。

$$y_{\ell+1} = y_0 - P_{J_{\ell}} y_0.$$

$$J_{\ell} = I_0( \sharp \Sigma_J) \cup I_{\ell} \rho \cdot n + \log(n)$$

一方

 $\log \#\{J : |J| < \rho n / \log(m), J \subset \{1, \dots, m\}\} \le \rho n.$ 

 $\log \#\{\sigma: \sigma \in \Sigma_J, |J| < \rho n/\log(m)\} \le n \cdot 2\rho + \log(n).$  したがって、演算子によって生成される符号パターンの総数 $\Phi_J$  は次のようになる。

さて、レンマ7.7によって与えられた $\beta$  は正なの $\phi$ <  $\beta/2$   $\rho_3 > 0$ を選びます

$$I_{\ell} = \{i : |\langle \phi_i, y_{\ell} \rangle| > t_{\ell}\}$$

を定義する。

 $\sigma J$ 

$$\begin{array}{l} \Omega_n^3 = \cap_{J \mid <\rho_3 n/\log(m)}^3 \cap_{\sigma \in \Sigma_J} \Omega_{\sigma,J} \\ |J| < \rho_3 n/\log(m) \end{array}$$

ここで、  $\Omega_{\sigma,J}$  は、特定の , コンビ・ネイションによって生成されるイベントのインスタンス (Lemma 7.7 のステートメントでは  $\Omega_{\sigma}$  と呼ばれる) を示す。イベント上では、*任意の*  $\Phi_{J}$  従う関連する $\tau$ ベ $\tau$ の符号

パターンがほぼ二元的に実行可能である。今

$$P\left(\left(\Omega_n^3\right)^c\right) \le \#\{\sigma : \sigma \in \Sigma_J, |J| < \rho_3 n / \log(m)\}$$

$$\times \exp(-n\beta)$$

$$\le \exp\{-n(\beta - 2\rho_3) + \log(n)\}$$

は指数関数的に急速にゼロになる傾向があります。 □

# D. 個別符号パターン埋め込みの証明

1) 埋め込みアルゴリズム:関連論文[11]では、近傍のほぼ実現可能な点から出発して、二重実現可能な点を作成するアルゴリズムを紹介した。 $^{y}$ とれは次のように動作する。

を持つインデックス << のコレ**サ**ションをI<sub>0</sub>とする。

を設定し

$$P_{I_0} \left( \Phi_{I_0}^T \Phi_{I_0} \right)^{-1} \Phi_{I_0}^T$$

最も小さい正方形プロジェクター .つまり、禁止されている

 $\Phi_{I_0}$ 

 $y_0$ 

レベルの半分を

超えているインデックスを特定し、そのインデックスを "殺す"のです。

このプロセスを続け、

ステージごとに異なる

閾値  $t_{\ell} - 2^{-\ell-1}$  を順次.Set に近づけていき、

.Set を 生成

と、パッティング

が空の場合、プロセスは終了し、セットされる

したがって、デュアルフィージビリティは間 違いなくあります。唯一の問題は、

それがどの程度近いかです。

2) *解析フレームワーク*また、[11]では、アルゴリズムの軌跡の2つの重要な記述子について、境界が開発されました。

لح

そこで展開された議論を適応する。我々は、境界  $\delta_{\ell,n}$  and for and  $\delta_{\ell,n}$  、な形で定義する。

ここで、 $\lambda_0 1/2$  と  $\min(1/2, \delta/2, \omega_0)$ 、ここで、 後で定義します。 サブイベント

$$|I_i| \le \nu_i, j = 0, \dots, \ell - 1$$
.

ここで、次のように定義します。

というのも、

このイベントが意味するの

 $t^{1/2}$ 

と組み合わせて選ばれたβ、そのことを示す。

これは、次のことを意味しています。

となり、レンマが導かれる。

3) ラージデビエーション事象の定義

ように

置く

であり、これは.NETにかなり弱く依存することに注意 という言葉で定義されて

> .レンマ7.1では、暗黙のうちにquan-toquanを定義していました。 の固有値の最小値を 下限と。

。終党は

ステージで発生しなければならない $y=\frac{1317}{y\ell}$   $|\langle \phi_i,y\rangle|\leq 1-2^{-\ell^*-1}, \qquad i=1,\ldots,m.$ 

 $\frac{y}{y_0}$ 

$$\alpha_{\ell} = ||y_{\ell} - y_{\ell-1}||_{2}$$

$$|I_{\ell}| = \# \left\{ i : |\langle \phi_{i}, y_{\ell} \rangle| > 1 - 2^{-\ell - 1} \right\}.$$

$$= n \cdot \lambda_{0} \cdot \epsilon_{\alpha_{\ell}}^{2} \qquad |I_{\ell}| \qquad \ell = 0, 1, 2, \dots;$$

$$= \delta_{\ell; n} = ||y_{\overline{0}}||_{2} \cdot \omega^{\ell} \qquad \ell = 1, 2, \dots \quad \omega_{0} > 0$$

$$\nu_{\ell; n} \qquad \nu_{\ell; n} = \frac{1}{2} ||y_{\overline{0}}||_{2} \cdot \omega^{\ell} \qquad \ell = 1, 2, \dots \quad \omega_{0} > 0$$

$$E_{\ell} = \{ \alpha_j \le \delta_j, \ j = 1, \dots, \ell,$$

$$\Omega_{\sigma} = \bigcap_{\ell=1}^{n} E_{\ell};$$

$$\omega \le$$

$$||y - y_0||_2 \stackrel{\leq}{\leq} \left(\sum_{\ell \neq 0} \alpha_{\ell}^2\right)_0^{1/2} \leq ||y_0||_2 \cdot \omega / (1 - \omega^2)^{1/2} \tau > 0$$

$$P\left(E_{\ell+1}^c ||y_0||_2 \stackrel{\cdot}{\to} \delta. \ 2 \exp\{-\beta n\}.\right)$$

$$P\left(\Omega_{\sigma}^{c}\right) \le 2n \exp\{-\beta n\}$$

$$F_\ell = \{\alpha_\ell \leq \delta_{\ell;n}\}, \quad G_\ell = \{|I_\ell| \leq \nu_{\ell;n}\}$$

$$E_{\ell+1} = F_{\ell+1} \cap G_{\ell} \cap E_{\ell}.$$

$$\rho_0(\tau,\omega;n) = (128)^{-1} \frac{\log(An^\gamma)}{\log(An^\gamma/\tau n)} \frac{\omega^2}{1-\omega^2}$$
 いることを思い出してください。 ダベントに関して 
$$|J_\ell| \leq \rho_0 n/\log(m)$$
 
$$\lambda_1(\rho,A,\gamma)$$

終了

everyw和かり $\rho n/\log(h)$  ピックソは  $ho_{1/2}>0$   $\lambda_1(
ho_{1/2},A,\gamma)>1/2$  . ピッカソは

$$\rho_0(\tau, \omega_0; n) < \rho_{1/2}, \qquad n > n_0.$$

 $\omega_0$ のこの選択で、イベント $E_\ell$ 

が発生したとき。

$$\lambda_{min}\left(\Phi_{I_{\ell}}^{T}\Phi_{I_{\ell}}\right) > \lambda_{0}.$$

また、 $E_\ell$ 、 $u_j=2^{-j-1}/\alpha_j 2^{-j-1}/\delta_j$ (と高j)上で、 $\pounds_\ell$  11]では、確率変数i.i.d.の族 n)  $(Z_i^\ell:1\leq i\leq m,0\leq\ell$ 〈解析の枠組みを開発した。 $N\left(0,\frac{1}{n}\right)$  が紹介され、その結果

$$P\left\{G_{\ell}^{c}|E_{\ell}\right\} \le P\left\{\sum_{i} 1_{\left\{\left|Z_{i}^{\ell}\right| > v_{\ell}\right\}} > \nu_{\ell}\right\}$$

と

$$P\left\{F_{\ell+1}^{c}|G_{\ell}, E_{\ell}\right\} \le P\left\{2 \cdot \lambda_{0}^{-1} \left[\nu_{\ell} + \delta_{\ell}^{2} \left(\sum_{i} \left(Z_{i}^{\ell}\right)^{2} 1_{\left\{\left|Z_{i}^{\ell}\right| > \nu_{\ell}\right\}}\right)\right] > \delta_{\ell+1}^{2}\right\}$$

この論文では、2つの簡単な大偏差の境界も述べている。

Lemma 7.8: $Z_i$  を i.i.d.N(0,1) k > 0, する2

$$\frac{1}{m} \log P \left\{ \sum_{i=1}^{m-k} Z_i^2 1_{\{|Z_i| > t\}} > m\Delta \right\} \le e^{-t^2/4} - \Delta/4,$$

$$\frac{1}{m} \log P \left\{ \sum_{i=1}^{m-k} 1_{\{|Z_i| > t\}} > m\Delta \right\} \le e^{-t^2/2} - \Delta/4.$$

これを応用して、イベント

$$\left\{ 2 \cdot \lambda_0^{-1} \left[ \nu_{\ell} + \delta_{\ell}^2 \left( \sum_i \left( Z_i^{\ell} \right)^2 1_{\left\{ \left| Z_i^{\ell} \right| > \nu_{\ell} \right\}} \right) \right] > \delta_{\ell+1}^2 \right\}$$

$$\tau_{\ell}^2 = n \cdot \nu_{\ell}^2 = \epsilon_n^{-2} (2\omega)^{-2\ell} / 4$$

 $N\left(0,\frac{1}{n}\right)$ 変数で表現すると、イベントと同じになり 改作  $=\frac{n}{m}\left(\lambda_0\delta_{\ell+1}^2/2-\nu_\ell\right)/\delta_\ell^2$ .

$$\frac{1}{e^{-\tau_{\ell}^{2}/4}} = e^{-\left[\frac{n}{(16\log(m/\tau n))/16}\right] \cdot (2\omega)^{-2\ell}} \\ - \log P \left\{ \frac{n}{\ell} \left[ \frac{n}{\ell} \right] \left[ \frac{n}{\ell} \right] \right\}^{-2\ell} \leq e^{-\tau_{\ell}^{2}/4} - \Delta_{\ell}/4.$$

$$\left\{ \sum_{i=1}^{m-k} Z_i^2 1_{\{|Z_i| > \tau_\ell\}} > m\Delta_\ell \right\}$$

$$\Delta_{\ell} = \frac{n}{m} \left( \omega^2 / 4 - \omega^2 / 8 \right) = \frac{n}{m} \omega^2 / 8.$$

である

ため

最も関心のある用語はatであり、他の用語の方が常に優れている。また、実際には $(\tau n/m)^{(2\omega)^{-2\ell}}$ に依存しない。に注目し、次のように書く $\Delta_\ell$ とができる

$$\log P\left\{F_1^c|G_0\right\} \le m\left(\tau \cdot n/m - n/m \cdot \omega^2/32\right)$$
$$= n\left(\tau - \omega^2/32\right).$$

を思い出し、必/ダ、パッティング

$$\beta \equiv \beta(\tau; \delta) = (\delta/2)^2/32 - \tau$$

>0  $\tau < \delta^2/128$ については $\beta$ 、取得します。

$$P\left\{F_{\ell+1}^c|G_\ell, E_\ell\right\} \le \exp(-n\beta).$$

 $G_{\ell}$ 'についても同様の分析が成り立つ。

#### VIII. 結論

### A. 概要

我々は、ベクトルとして表現できるオブジェクトの圧縮センシングのための抽象的なフレームワークを説明した  $\mathbf{R}^m$ 。我々は、関心のあるオブジェクトが*先験的に*圧縮可能であると仮定し、

既知の基底またはフレームに対し $\mathfrak{T}^{\epsilon}$   $\leq$  となるようにする  $\overset{x_0}{\underset{p}{\leftarrow}}$  。条件 $\mathbf{CS1}$ - $\mathbf{CS3}$ を満たす  $\overset{x_0}{\underset{m}{\leftarrow}}$  。  $\overset{x_0}{\underset{m}{\leftarrow}}$  直交基底または $\mathbf{F}^{\epsilon}$  フレームの行列を 基にして

我々は情報演算者  $I_n(x)$  を起義のタプルから出発し

の情報  $y_n = I_n(x_0)$   $x_0$  を解くことで、その近似値を復元する。

$$(L_1)$$
  $\min_{x} \|\Psi^T x\|_1$ 会わせる  $y_n = I_n(x)$ .

は標準的なN(0,1)確率変数で記述される。

上

したがって、以下の 不等式が成り立つ。

TIL

現在

لح

を満たす行列は、.NET

の列に対する一様分布からのランダムサンプリングに より構成することができる.

我々は、圧縮可能な物体に対して、見かけ上の非デサンプリング (n m)にもかかわらず、良い精度の再構成が可能であることを示す誤差境界を与え、これらの境界の最適に近い性質を Optimal Recovery と Information-Based Complexity からのアイデアを用いて説明する。さらに、この結果はデータの小さな測定誤差  $( ||y_n I_n(x_0)||_1$ small)に対しても安定であることを示す。イメージングとスペクトロスコピーに関連する潜在的なアプリケーションをスケッチする。

# B. 代替処方

### CS1-CS3

の条件は、我々の結果を得るための唯一の方法ではない ことを指摘する。定理9の証明は、実際には次のような ものである。

定理11:

の条件に従うとし、

anmatrixが以下 定数,

および  $\eta_2 < \infty$ 

Φ

Φ

<

 $\begin{array}{ccc}
n \times m & \Phi \\
\rho_1 > 0 & \eta_1 < 1/2
\end{array}$ 

$$A1:$$
最大 $n \times m$   $\nu(\Phi,J)$   $n$  濃度(セク ションIV-Bで 定義  $n$   $0 かまま$ 

ります。

$$\nu(\Phi,J) \leqslant_n \eta_1, \quad |J| < \rho_1 n/\log(m_n)._{\eta_1} \text{ (VIII.1)}$$
 A2: 
$$w(\Phi,b_{1,m_n}) 幅 (セクションIIで$$
 
$$\rho_1 > 0$$
 
$$w(\Phi,b_{1,m_n}) \leq \eta_2 \quad 定義 \qquad ) は \qquad ,$$
 
$$(n/\log(m_n))^{-1/2}. \text{ (VIII.2)}$$
 に従います。

$$\leq$$
 と $\theta$ する $p$  . 1  $C=C(p,(\eta_i),\rho_1)$   $\theta\in$  い $\hat{\theta}$ raかの $P_1$ 足してすべての $b_{p,m}$  に対して、 その解は推定値に 従います

 $\|\hat{\theta}_{1,n} - \theta\|_2 \le C \cdot (n/\log(m_n))^{1/2 - 1/p}.$ 

つまり、異なるアプローチでは、  $\ell_1$  のボールのみに対して良好な幅を持ち、「薄い」集合に対する集中度が低い演算子を示すかもしれません。CSI-CS3の条件が間違いなく異なるアプローチが可能であることを示すもう一つの方法は、[11]、[35]の結果を比較することです。2番目の論文は、異なる手法を使って、最初の論文と一部重複する結果を証明しています。

# C. パーシャルフーリエアンサンブル

に当てはまらない最近の2つの記事について簡単に説明します。

n-

幅の伝統はここで踏襲されているので、先に引用して目立つようにするのは容易ではありませんでした。

まず、我々の視点に最も近いのは、Candès,Romberg,and Taoの画期的な論文[13]である。これは、セクション IV-B で議論した。[13] の結果は、  $\ell_1$  最小化を用いて、ランダムに選ばれた周波数のフーリエ変換から疎な配列を正確に回復できることを示した。配列が 0  $\rho^*n/\log(n)$  より少ないノンゼロを持つときはいつでも、いくつかの  $\rho^*$  についてである。2つ目は、Gilbert らの論文[12]で,異なる非線形再構成 ( $\log(n)$ )  $\log(\sqrt{k})$  所)て,  $R^m$ 

だが不均一なサンプ

のベクトルに対する近似値を復元できることが示されています.この近似値な、周波数領域において、約ランダ

つまり、Gelf と -width について最適に近い部分空間を生成し、  $\ell_1$  最小化によって

そのような情報からすべて再構成できるよう にすることです。

さて、[13]は(実質的には)、

もし、均一

測度を持つ部分フーリエアンサンブルにおいて、最大濃度条件A1 (VIII.1) が大きな(適当な定数 1/2 に対して)圧倒的な確率で成立することを証明しています。

).一方、[12]の結果は、ある非一様確率測度を用いてサンプリングした場合、条件A2 (VIII.2) が大きな ,に対して圧倒的な確率で部分フーリエアンサンブルに成り立つことを示しているようである。13]と[12]は、部分フーリエ行列の異なるランダムアンサンブルに言及していますが、両者とも興味深い相対的に具体的な演算子族が、コムプレスのセンシングアプリケーション用に開発され得るという考えを補強しています。実際、CandèsはTao [47]と共に得た最近の結果について、一様にサンプリングされた部分フーリエアンサンブルに対して、ポリログ因子のモジュロでA2が成り立つことを知らせてくれた。これは非常に重要な進歩であると思われます。

DONOHO圧縮センシング

校正で追加されたノート

この論文が書かれてから数ヶ月の間に、いくつかのグ ループがここで説明した手法と関連する手法について 、合成データや実データを用いた数値実験を行ってい る。彼らは重要なセンサー問題への適用性を調べ、ノ イズの存在下での安定性のような応用問題を研究した。E URASIPジャーナルApplied Signal Processing OSpecial Sparse Representation , ICASSP Issue on 2005のスペシャルセッション、2005年5月にUniversity of Maryland Center for Scien- tific Computing and Applied Mathematicsで開かれたスパース表現に関するワークシ ョップ、2005年11月にUniversité RennesのSpars05で開かれたワークショップで発表され た論文が参考になると思われます。

レフェリーから、Compressed

Sensingはデータストリーム処理で生じる問題と似ている点があると指摘された。そこでは、ストリームを保存せずにデータストリームの基本特性(例えば、モーメント、ヒストグラム)を学習したい。要するに、比較的少ない測定回数で、比較的多くの詳細な情報を推論したいのです。大規模データベースにおける「アイスバーグクエリ」やデータストリームにおける「ヘビーヒッター」という概念は、このような文献への入り口を提供することができるかもしれません。

#### ACKNOWLEDGMENT

2004年春、Emmanuel Candèsは "under-sampled imaging

"における部分フーリエアンサンブルの使用に関する彼のアイデアを筆者に伝え、その一部は[13]で発表された;

またプレゼンテーション[14]も参照。さらに最近、Can dèsは、上記[47]の結果を筆者に知らせてくれた。これらの会話から得られたインスピレーションに感謝する次第である。また、Anna

Gilbertの非適応サンプリングによるB-best

Fourier係数の発見[12]について教えてくれたことに感謝し、Gilbertの仕事を明確にする会話をしたEmmanuel Candèsに感謝したい。また、Emmanuel

Candèsには、Gilbertの研究を明確にするための会話を 提供してもらった。Anna

Gilbertは、データストリーム処理に関する文献を紹介 してくれた。

# 参考文献

- [1] D.L. Donoho, M. Vetterli, R. A. DeVore, and I. C. Daubechies, "Data compression and harmonic analysis," *IEEE Trans.Inf.Theory*, vol.44, no.6, pp.2435-2476, Oct.1998.
- [2] Y.Meyer, Wavelets and Operators. Cambridge, U.K.: Cambridge Univ. Press, 1993.
- [3] D.L. Donoho, "Unconditional bases are optimal bases for data compression and for statistical estimation," *Appl. Comput. Harmonic Anal.*1, pp.100-115, 1993.
- [4] また、このような場合にも、「画像に含まれる疎な成分と最適な原子分解」、Constructive Approx.
- [5] A.ピンクス、「近似理論における

- 幅と最適回復」、*Proc.Symp.応用数学*, 第36巻, C. de Boor, **B21**, Providence, RI, 1986, pp.51-66。
- [6] J.F. Traub and H. Woziakowski, A General Theory of Optimal Algo-rithms. New York:ニューヨーク: アカデミック, 1980.
- [7] D.L. Donoho, "Unconditional bases and bit-level compression," Appl. Comput. Harmonic Anal. 3, pp. 388-92, 1996.
- [8] A.ピンクス、近似理論におけるn- +==。 New York:Springer-Verlag, 1985.
- [9] A.Y. Garnaev and E. D. Gluskin, "On widths of the Euclidean ball" (in English), Sov.Math.-Dokl.30巻、200-203頁、1984年。
- [10] B.S. Kashin, "Diameters of certain finite-dimensional sets in classes of smooth functions," *Izv.Akad.Nauk SSSR*, *Ser.Mat.また, "Diameters in certain finite-dimensional sets in classes smooth functions"と題する論文を発表した。*

望ましい。

- [11] D.L. Donoho, "For most large underdetermined systems of linear equations, the minimal  $\varepsilon_T$ norm solution is also the sparsest solution," *Commun. 純粋応用数学*を出版予定。
- [12] A.C. Gilbert, S. Guha, P. Indyk, S. Muthukrishnan, and M. Strauss, "Near-optimal sparse fourier representations via sampling," in *Proc 34th ACM*Symp.また、このような場合にも、「逐次処理」であることが
- [13] E.J. Candès, J. Romberg, and T. Tao, "Robust uncertainty principles:このような場合、「不完備な周波数情報からの正確な信号再構成」、「IEEE Trans.Inf.Theory, 掲載予定。
- [14] E.J. Candès, "Robust Uncertainty Principles and Signal Recovery," presented at 2nd Int.Conf.Computational Harmonic Anaysis, Nashville, TN, May 2004.
- [15] C.A. Micchelli and T. J. Rivlin, "A survey of optimal recovery," in Op-timal Estimation in Approximation Theory, C. A. Micchelli and T. J. Rivlin, Eds:Plenum, 1977, pp.1-54.
- [16] J.Peetre and G. Sparr, "Interpolation of normed abelian groups," Ann. Math. 4, vol. 92, pp.217-262, 1972.4, vol. 92, pp.217-262, 1972.
- [17] J.Bergh and J. Löfström, *Interpolation Spaces.* ス門 ドイツ、ベルリン。Springer-Verlag, 1976.
- [18] B.カール, "エントロピー数s数, 固有値問題", *J. Funct.Anal.*41巻、290-306頁、1981年。
- [19] G. Pisier, The Volume of Convex Bodies and Banach Space Geometry.英国ケンブリッジ大学出版局, 1989.
- [20] C.また、このような場合にも、「曖昧さ」を解消するために、「曖昧さ」を解消するために、「曖昧さ」を解消するために、「曖昧さ」を解消するために、「曖昧さ」を解消するために、「曖昧さ」を解消するために、「曖昧さ」を解消すると要があります。
- [21] T.を用いた、エントロピー数に対する下限推定値、J. Approx.
- [22] S.S. Gal and C. Micchelli, "Optimal sequential and nonsequential proce- dures for evaluating a functional," *Appl.Anal.*10巻、105-120頁、1980年。
- [23] A.このような場合、「曖昧なデータから線形演算子を最適に推定する」、*SIAM J. Numer.Anal.*16巻、87-105頁、1979年。
- [24] M.A. Kon and E. Novak, "The adaption problem for approximating linear operators," *Bull.アメリカ数学。Soc.*, vol.23, pp.159-165, 1990
- [25] E.ノバック、「適応力について」、J.Complexity, vol.12, pp.199-237, 1996.
- [26] S.陳、D.L.ドノホー、M.A.サンダース、「基底追求による原子分解」、*SIAM J. Sci Comp.*20巻1号、33-61頁、1999年。
- [27] D.L. Donoho and X. Huo, "Uncertainty principles and ideal atomic decomposition," *IEEE Trans.Inf.Theory*, vol.47, no.7, pp.2845-62, Nov. 2001.
- [28] M.Elad and A. M. Bruckstein, "A generalized uncertainty principle and sparse representations in pairs of bases," *IEEE Trans.Inf.Theory*, vol.49, no.9, pp.2558-2567, Sep.2002.
- [29] D.L. Donoho and M. Elad, "Optimally sparse representation from over- complete dictionaries via ε norm minimization," *Proc.Natl. Acad.米国*、vol.100、no.5, pp.2197-2002, Mar.

- [30] R.Gribonval, M. Nielsen, "Sparse representations in unions of bases," *IEEE Trans Inf Theory*, vol.49, no.12, pp.3320-3325, Dec.2003.
- [31] J.J. Fuchs, "On sparse representation in arbitrary redundant bases," (任意の冗長ベースにおけるスパース表現について)。 *IEEE Trans.Inf.Theory*, vol.50, no.6, pp.1341-1344, Jun.2002.
- [32] J.A. Tropp, "Greed is good:スパース近辺アルゴリズム結果」、*IEEE Trans Inf.Theory*, vol.50, no.10, pp.2231-2242, Oct.2004.
- [33] ―, "Jus relax:ノイズの中でスパースな信号を識別するための凸計画法」 *IEEE Trans Inf.Theory*, vol.52, no.3, pp.1030-1051, Mar.
- [34] D.L. Donoho, M. Elad, and V. Temlyakov, "Stable recovery of sparse overcomplete representations in presence of noise," *IEEE Trans.Inf.Theory*, vol.52, no.1, pp.6-18, Jan.2006.
- [35] D.L. Donoho, "For most underdetermined systems of linear equations, the minimal  $\varepsilon_T$ -norm near-solution approximates the sparsest near-solution," *Commun. を発表した。*を出版予定。
- [36] I.C. Daubechies, Ten Lectures on Wavelets (ウェーブレットに関する10の講義).Philadelphia, PA:SIAM, 1992.
- [37] S.マラト、*信号処理のウェーブレットツア*ー。サンディエゴ、 カリフォルニア州。Aca- demic, 1998.
- [38] A.Cohen, R. DeVore, P. Petrushev, and H. Xu, "Nonlinear approximation and the space," *Amer.* 3. *Math.* 121巻、587-628頁、1999年。
- [39] E.J. Candès and D. L. Donoho, "Curvelets-A surprisingly effective nonadaptive representation for objects with edges," in *Curves and Sur-faces*, C. Rabut, A. Cohen, and L. L. Schumaker, Eds.Nashville, TN:Vanderbilt Univ. Press, 2000.
- [40] また, "New tight frames of curvelets and optimal representations of ob-ject with piecewise C singularities" (カーブレッツの新しいタイトフレームと区分的C特異点の最適表現),
  - Comm.を用いた。そのため、このような問題点を解決するため に必要な基礎的な知識を得ることができる。
- [41] S.J. Szarek, "Spaces with large distances to  $\mathfrak{t}_{\infty}^n$  and random matrices," (ランダム行列と大きな距離を持つ空間) . アメリカJ. Math.112巻、819-842頁、1990年。
- [42] ——また, 「ランダム行列の条件数」, 「*複雑性」*, 第7巻, 1 31-149頁, 1991年.
- [43] A.Dvoretsky, "Some results on convex bodies and banach spaces," in Japan. シンポジウム線形空間, エルサレム, イスラエル, 1961, pp.123-160.
- [44] T.Figiel, J. Lindenstrauss, and V. D. Milman, "The dimension of almost-spherical sections of convex bodies," *Acta Math. という論文*。
- [45] V.D. Milman and G. Schechtman, Asymptotic Theory of Finite-Dimensional Normed Spaces (Leecture Notes in Mathematics). Berlin, Germany: Springer-Verlag, 1986, vol. 1200.
- [46] D.Pollard, Empirical Processes: 理論と応用.ヘイワード、カリフォルニア州: Inst.Math .Statist., vol.2, NSF-CBMS Regional Conference Series in Probability and Statistics.
- [47] E.J. Candès and T. Tao, "Near-optimal signal recovery from random project:また, このような場合にも, そのような問題を解決することができる。を用いた。Rep., 2004.